



ارزیابی اثر خطای انسانی بر اتکاپذیری سامانه‌های ذخیره‌سازی داده

مصطفی کیشانی^۱، حسین اسدی^{۲*}

*نویسنده مسئول، دریافت: ۹۸/۰۸/۰۴، بازنگری: ۹۸/۱۰/۰۱، پذیرش: ۹۹/۰۸/۱۹

^۱ دانش‌آموخته‌ی دکتری، دانشکده مهندسی کامپیوتر، دانشگاه صنعتی شریف، تهران، ایران

^۲ استاد، دانشکده مهندسی کامپیوتر، دانشگاه صنعتی شریف، تهران، ایران

چکیده

به‌رغم استفاده از روش‌هایی مانند بازیابی خودکار خرابی، نقش عامل انسانی و متعاقباً خطای انسانی در مراکز داده اجتناب‌ناپذیر است. به این دلیل که مراکز داده از تعداد دیسک بسیار زیادی بهره می‌گیرند، و با توجه به نرخ بالای خرابی دیسک، خطای انسانی در زیرسامانه‌ی دیسک یکی از عوامل اصلی عدم دسترسی‌پذیری و فقدان داده است. در این مقاله، اثر جایگزینی دیسک اشتباه را بر دسترسی‌پذیری و قابلیت اطمینان سامانه‌های ذخیره‌سازی داده بررسی خواهیم کرد. با این هدف، ابتدا پیامدهای جایگزینی دیسک اشتباه را در آرایه‌ی دیسک بررسی می‌کنیم و سپس با استفاده از شبیه‌سازی‌های مونت‌کارلو عدم دسترسی‌پذیری و فقدان داده را ارزیابی می‌کنیم. در چهارچوب پیشنهاد شده الف) پیکربندی‌های مختلف آرایه‌ی دیسک در نظر گرفته می‌شود. ب) معیاری جدید برای عدم دسترسی‌پذیری سامانه‌های ذخیره‌سازی داده پیشنهاد می‌شود که مستقل از اندازه‌ی سامانه‌ی مورد آزمایش است و بزرگی عدم دسترسی‌پذیری را نیز در خود می‌گنجاند.

کلمات کلیدی: سامانه‌های ذخیره‌سازی داده، دسترسی‌پذیری، قابلیت اطمینان، خطای انسانی، آرایه‌ی دیسک، کدهای تشخیص، تصحیح و محوکننده‌ی خطا، تزیق اشکال آماری، شبیه‌سازی مونت‌کارلو.

می‌شود. منطق پیشین که از پردازنده‌های با کارایی بالا بهره می‌برد، چندین وظیفه مانند مدیریت حجم، صف‌بندی درخواست‌های خواندن و نوشتن، مدیریت حافظه سراسری و پیش‌واکشی داده را بر عهده دارد. متوسط تأخیر خواندن می‌تواند با پیش‌واکشی داده از دیسک به حافظه‌ی سراسری با استفاده از منطق پسین^۷ بهبود یابد. منطق پسین که وظیفه انتقال داده بین زیرسامانه‌ی دیسک و حافظه‌ی سراسری را بر عهده دارد، عملیاتی همچون زدودن دیسک^۸، بازیابی خطا و امور مربوط به RAID^۹ را نیز پشتیبانی می‌کند.

یکی از عوامل مهم در خرابی سامانه‌ها خطای انسانی^{۱۰} است [۱۲][۳۰][۴۹][۳۷][۱۸]. با توجه به هزینه‌ی بالای عدم دسترسی‌پذیری (DU^{۱۱}) و فقدان داده (DL^{۱۲}) و اثرات مخربی که خطای انسانی می‌تواند بر اتکاپذیری سامانه داشته باشد، بررسی اثر خطای انسانی و درجه‌ی آسیب‌های ناشی از آن دارای اهمیت زیادی است. در مراکز داده به‌رغم استفاده از روش‌هایی مانند بازیابی خودکار خرابی، همچنان نقش عامل انسانی در عملیات سرویس و بازیابی پر رنگ است و متعاقباً بروز خطای انسانی اجتناب‌ناپذیر است. در سامانه‌های تجاری گول‌پیکر به دلیل تعداد

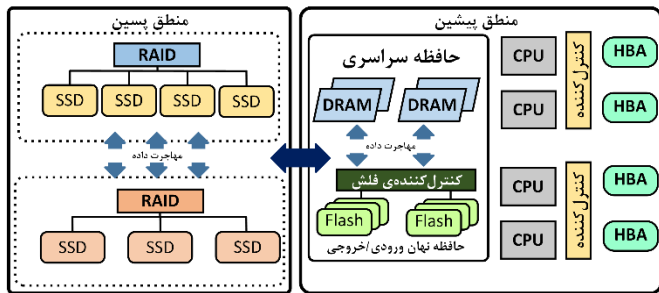
۱- مقدمه

نیاز فزاینده‌ی امروز به کاربردهای با حجم داده‌ی بالا سامانه‌های ذخیره‌سازی داده^۱ را به عنصری کلیدی در زیرساخت‌های فناوری اطلاعات بدل کرده است. طراحی این سامانه‌ها به‌گونه‌ای است که بتوانند اطلاعات صنایع، سازمان‌ها و شرکت‌ها را با اتکاپذیری^۲ بالا حفظ کنند. برخلاف کارگزارهای ذخیره‌سازی سنتی، سامانه‌های ذخیره‌سازی داده می‌توانند به چندین درخواست همزمان با حفظ کارایی و اتکاپذیری مورد نیاز کاربردهای تجاری پاسخ دهند.

کارایی و توان عملیاتی بالا و همچنین تأخیر دسترسی پایین سامانه‌های ذخیره‌سازی داده به دلیل استفاده از حافظه‌ی سراسری^۳ است. حافظه‌ی سراسری که به‌منظور حفظ داده به پشتیبان باتری مجهز است [۶۲] غالباً از پیمان‌های^۴ DRAM^۵ ساخته می‌شود و به‌عنوان حافظه‌ی نهان داده‌ی کاربر تأخیر بالایی دسترسی به دیسک را تعدیل می‌کند. برای بهبود بهره‌وری حافظه‌ی سراسری، درخواست‌های ارسال شده از سمت کارگزار توسط منطق پیشین^۶ دریافت و مدیریت

محلی؛ پ) پوشش تعداد واحدهای منطقی^{۱۱}؛ تأمین حفظ و امنیت داده در زمانی که سامانه به وسیله‌ی چند کارگزار مورد استفاده قرار می‌گیرد؛ ارائه می‌دهند. ارائه‌ی این امکانات پیشرفته توسط سامانه‌های ذخیره‌سازی داده‌ی نوین، داده‌ی کاربر را نسبت به عواملی مانند خرابی‌های محلی، فاجیع و حملات ایمن می‌سازد.

اجزای اصلی یک سامانه‌ی ذخیره‌سازی داده می‌تواند بسته به رده‌ی اتکاپذیری، رده‌ی کارایی، و تولیدکننده‌ی سامانه متفاوت باشد. اجزای سامانه به‌طور نوعی شامل منطق پیشین، حافظه‌ی سراسری و منطق پسین است (شکل ۱). مسئولیت منطق پیشین ارتباط با کارگزارها و سایر سامانه‌ها و انجام عملیات خواندن، نوشتن و کپی بر روی حافظه‌ی سراسری است. منطق پیشین همچنین وظیفه مدیریت پروتکل‌های ارتباطی (مانند فیبر نوری و اسکاکی^{۱۲})، نسخه برداری آتی، پیش‌واکشی داده بر اساس تاریخچه‌ی درخواست‌ها، و مدیریت صف خواندن و نوشتن را بر عهده دارد. کنترل‌کننده‌های منطق پیشین و منطق پسین غالباً از پیکربندی کارکرد دوتایی همزمان^{۱۳} بهره می‌برند. در این پیکربندی هر کنترل‌کننده در حین عملکرد مستقل خود، عملکرد کنترل‌کننده‌ی نظیر خود را نیز زیر نظر دارد. در صورت خرابی یا راه اندازی مجدد یک کنترل‌کننده، کنترل‌کننده‌ی نظیر مسئولیت آن را به عهده می‌گیرد. بنابراین در این پیکربندی خرابی همزمان هر دو کنترل‌کننده موجب عدم دسترسی پذیری می‌شود.



شکل ۱: ساختار منطقی یک سامانه‌ی ذخیره‌سازی داده‌ی نوعی

کلیدی ارتباطات میان زیرسامانه‌ی دیسک و منطق پیشین با محوریت حافظه‌ی سراسری انجام می‌شود. برای غلبه بر تأخیر بسیار زیاد نوشتن بر روی دیسک، همه درخواست‌های نوشتن دریافت شده از طرف کارگزار یا سامانه‌ی دیگر بلافاصله پس از کپی داده بر روی حافظه‌ی سراسری پاسخ داده می‌شود. پس از پاسخ به درخواست نوشتن و در زمان مقتضی، بلوک‌های داده‌ی در انتظار نوشتن از حافظه سراسری به روی دیسک نوشته خواهد شد. بنابراین پیش از کپی داده‌ی در انتظار نوشتن بر روی زیرسامانه‌ی دیسک، حافظه سراسری تنها دارنده‌ی نسخه‌ی معتبر داده است و خرابی آن موجب فقدان داده می‌شود. در نتیجه در سامانه‌های با اتکاپذیری بالا، محافظت از داده‌ی حافظه سراسری از اهمیت بسیار زیادی برخوردار است. در حافظه‌ی سراسری، داده‌ی در انتظار نوشتن به‌طور معمول بر روی دو حافظه‌ی آینه‌ای نوشته می‌شود. در صورت خرابی یک آینه، حافظه سراسری همه‌ی داده‌ی در انتظار نوشتن را بی‌درنگ به دیسک‌های پشتیبان انتقال می‌دهد تا احتمال فقدان داده (بر اثر خرابی آینه دوم) به حداقل برسد.

زنجیره‌ی ذخیره‌سازی داده‌ی کاربر با نوشتن داده از حافظه‌ی سراسری به زیرسامانه‌ی دیسک کامل می‌شود. مدیریت انتقال داده از حافظه‌ی سراسری به زیرسامانه‌ی دیسک به عهده‌ی منطق پسین است. منطق پسین همچنین عهده‌دار واکشی (یا پیش‌واکشی) داده از زیرسامانه‌ی دیسک به حافظه‌ی سراسری، اجرای وظایف مربوط به RAID، زدودن دیسک، بازیابی خطا، گرفتن تصویر آتی^{۱۴} از داده و مدیریت پروتکل ارتباطی دیسک است.

نهایتاً در زیرسامانه‌ی دیسک داده‌ی کاربر به‌طور دائمی در رسانه‌های ذخیره‌سازی داده (مانند دیسک سخت و دیسک حالت جامد) نگهداری می‌شود. بسته به کارایی، اتکاپذیری و هزینه‌ی مطلوب کاربر، زیرسامانه‌ی دیسک از روش‌های متنوعی

بسیار زیاد دیسک‌های مورد استفاده و بالا بودن نرخ خرابی دیسک‌ها عملیات تعمیر و نگهداری با نرخ بسیار زیادی انجام می‌شود. از این رو خطای انسانی در زیر سامانه‌ی دیسک یکی از عوامل مهم عدم دسترسی پذیری و فقدان داده است، تا جایی که برخی مطالعات میدانی خطای انسانی را عامل اصلی بیش از ۱۹٪ کل خرابی‌های سامانه گزارش می‌کنند [۲۴][۴۹].

در این مقاله اثر خطای انسانی جایگزینی دیسک اشتباه^{۱۵} (WDR) را بر فقدان داده و عدم دسترسی‌پذیری سامانه‌های ذخیره‌سازی داده بررسی می‌کنیم. برای رسیدن به این هدف ابتدا پیامدهای جایگزینی دیسک اشتباه در آرایه‌ی دیسک تحلیل شده است. پس از آن با شبیه‌سازی مونت کارلو^{۱۶}، عدم دسترسی‌پذیری و فقدان داده در طول مأموریت سامانه ارزیابی شده است. در چهارچوب پیشنهاد شده معیاری جدید برای عدم دسترسی‌پذیری سامانه‌های ذخیره‌سازی داده، NOMDU^{۱۷}، پیشنهاد می‌شود که مستقل از اندازه‌ی سامانه‌ی مورد آزمایش است و بزرگی عدم دسترسی‌پذیری را نیز در خود می‌گنجاند.

پارامترهای مورد استفاده در چهارچوب پیشنهاد شده از داده‌های صنعتی و علمی و داده‌های میدانی یک مرکز با بیش از ۷۰ قفسه^{۱۸} داده استخراج شده است. نتایج این مطالعه نشان می‌دهد که با چشم‌پوشی از اثر خطای انسانی در مطالعات پیشین، عدم دسترسی‌پذیری زیر سامانه‌ی دیسک تا سه درجه بزرگی ناچیز شمرده شده است. همچنین نتایج نشان می‌دهد که با در نظر گرفتن اثر خطای انسانی برتری نسبی پیکربندی‌های RAID آن‌چنان‌که پیش‌ازاین تصور می‌شد نخواهد بود. به‌عنوان مثال شرایطی مشاهده شد که پیکربندی RAID1 دسترسی‌پذیری کمتری نسبت به RAID5 ارائه می‌دهد.

این پژوهش نسبت به [۳۴] نوآوری‌های زیر را داشته است:

- ساختار سامانه‌های ذخیره‌سازی داده به‌دقت مورد بررسی قرار گرفته است.
- مطالعه جامعی بر روی چالش‌های اتکاپذیری سامانه‌های ذخیره‌سازی داده انجام شده است.
- مروری دقیق بر مطالعات پیشین در حوزه خطای انسانی در کاربردهای بحرانی-ایمن و سامانه‌های ذخیره‌سازی داده صورت گرفته است.

این مقاله در پنج بخش تدوین شده است. در بخش دوم و سوم به ترتیب به پیش‌زمینه و کارهای پیشین می‌پردازیم و چالش‌های موجود در سامانه‌های ذخیره‌سازی داده را مطرح می‌کنیم. بخش چهارم خطای انسانی در آرایه دیسک را مورد تحلیل قرار می‌دهد. در بخش پنجم نتایج شبیه‌سازی‌ها ارائه می‌شود. در آخر در بخش ششم مطالب ارائه شده در این مقاله را جمع‌بندی می‌کنیم.

۲- پیش‌زمینه

در این بخش پیش‌زمینه‌ای در مورد ساختار و عملکرد سامانه‌های ذخیره‌سازی داده و چالش‌های اتکاپذیری پیش رو در طراحی سامانه‌ها ارائه می‌شود و در آخر مفاهیم پایه‌ای مانند کدهای محوکننده‌ی خطا و شبیه‌سازی مونت کارلو مورد بحث قرار می‌گیرد.

۲-۱- سامانه‌ی ذخیره‌سازی داده

استفاده از سامانه‌های ذخیره‌سازی داده، نیاز زیرساخت‌های فناوری اطلاعات را به عناصر ذخیره‌سازی با کارایی و دسترسی‌پذیری بالا پاسخ می‌دهد. این کارایی و دسترسی‌پذیری با به‌کارگیری پردازنده‌هایی با کارایی بالا، شبکه‌های پرسرعت و یک حافظه‌ی سراسری حجیم در سامانه، قابل ارائه است. این سامانه‌ها همچنین امکانات ویژه‌ای را همچون الف) نسخه‌برداری آتی^{۱۷}؛ کپی چندین ترابایت داده در زیرسامانه‌ی دیسک در چند ثانیه؛ ب) آینه‌سازی دوردست^{۱۸}؛ حفظ یک آینه از داده در یک زیرسامانه‌ی دیسک در دوردست به‌منظور محافظت از داده در هنگام خرابی‌های

سامانه‌ها برمی‌شمرند. دسته‌ی دوم مطالعاتی هستند که با ارائه‌ی مدل‌های ریاضی و روش‌های مبتنی بر شبیه‌سازی سعی در مدل‌سازی دسترس‌پذیری و قابلیت اطمینان سامانه‌ها دارند.

۳-۱- چالش‌های اتکاپذیری سامانه‌های ذخیره‌سازی داده

دو تهدید جدی برای اتکاپذیری سامانه‌های ذخیره‌سازی داده، فقدان داده (DL) و عدم دسترس‌پذیری است. عدم دسترس‌پذیری به وضعیتی گفته می‌شود که یک درخواست به علت نبود دسترسی به داده‌ی خواسته شده بی‌پاسخ می‌ماند. اما در صورتی که بخشی از داده‌ی کاربر به‌طور دائمی از بین برود گفته می‌شود که فقدان داده رخ داده است. از دیگر آسیب‌های محتمل در سامانه‌های ذخیره‌سازی داده آلودگی پنهان داده (SDC) است. در این وضعیت بخشی از داده‌ی کاربر به‌طور غیر قابل تشخیص خراب می‌شود. آلودگی پنهان داده بر اثر عواملی چون رخداد خطای گذرا بر روی اجزای‌های سامانه رخ می‌دهد. فقدان داده، عدم دسترس‌پذیری، و آلودگی پنهان داده می‌تواند عواقبی مانند ازکارافتادگی سامانه تا عواقب جبران‌ناپذیری مانند ورشکستگی یک شرکت را در پی داشته باشد.

خرابی‌های سامانه‌های ذخیره‌سازی داده می‌تواند ناشی از خرابی‌های محفظه‌ها و دیسک، خرابی اتصالات فیزیکی و زیرساخت‌های مشترک مانند سامانه تهویه هوا و منبع تغذیه، خرابی قرارداد، خطاهای کاربر، خرابی کارایی (عدم توانایی دیسک در انجام درخواست طی زمان مشخص)، و خرابی کنترل‌کننده‌ها باشد.

۳-۲- تحلیل دلایل خرابی سامانه

بخشی از مطالعات میدانی انجام شده بر روی خرابی سامانه‌های ذخیره‌سازی داده بر خرابی دیسک‌های سخت [۳] [۱۵] [۵۸] [۵۶] [۵۳] [۷۰] [۶۶] [۶۸] و دیسک‌های حالت جامد [۶] [۲۱] [۳۹] [۴۳] [۵۴] [۴۶] [۳۱] تمرکز داشته‌اند. خرابی‌های عملیاتی دیسک سخت بر اثر وقوع اشکال در اجزای الکترونیکی یا مکانیکی (مانند صفحه یا دهنه دیسک) اتفاق می‌افتد. این دست از خرابی‌ها موجب تخریب داده یا عدم توانایی دیسک در خواندن داده می‌شود که با به‌کارگیری روش‌هایی مانند RAID قابل جبران است [۵۲]. علاوه بر خرابی‌های عملیاتی، قرار گرفتن ذرات گردوغبار محیط میان صفحه و دهنه دیسک می‌تواند موجب خطای قطعه شود. این نوع خطا که خطای قطعه نهفته نام دارد می‌تواند به چندین قطعه آسیب بزند و موجب فقدان داده یا خرابی کامل دیسک شود. برای کاهش احتمال آلودگی داده بر اثر خطای قطعه نهفته از روش‌هایی مانند به‌کارگیری کدهای تشخیص و تصحیح خطا، زدودن دیسک، و افزودن میان‌دیسکی (مانند RAID) استفاده می‌شود.

برخی مطالعات میدانی بر روی خرابی سامانه‌ها نشان می‌دهد که دیسک‌ها تنها عامل اصلی رخداد DU و DL در سامانه نیستند [۲۷] [۴۷] [۶۰]. مطالعه انجام شده توسط جیانگ و همکاران بر روی خرابی سامانه‌های ذخیره‌سازی داده، انواع خرابی را به چهار دسته الف) خرابی دیسک، ب) خرابی شبکه میان ارتباطی، پ) خرابی پروتکل و ت) خرابی کارایی تقسیم می‌کند [۲۷]. این مطالعه نشان می‌دهد که علاوه بر خرابی دیسک سایر انواع خرابی نیز تأثیر قابل توجهی بر اتکاپذیری سامانه دارد تا جایی که ۷۵٪ کل زمان ازکارافتادگی سامانه بر اثر عواملی به غیر از خرابی دیسک بوده است. این مطالعه که با تحلیل داده‌های میدانی ۳۹,۰۰۰ سامانه انجام شده است نشان می‌دهد که ۲۰ تا ۲۵ درصد کل خرابی‌ها بر اثر خرابی دیسک، ۲۷ تا ۶۸ درصد خرابی‌ها مرتبط با شبکه میان ارتباطی و ۵ تا ۱۰ درصد خرابی‌ها مرتبط با پشته‌ی پروتکل است.

مطالعات زیادی سعی بر آن داشته‌اند که اتکاپذیری سامانه را با تمرکز بر روش‌های RAID [۵۶] [۶۸] [۶۶] [۷۰]، گرفتن نقطه وارسی^{۲۶}، زدودن دیسک [۵۰] [۲۵] [۴۵] [۵۹]، روش‌های آینه‌سازی [۴۰] [۴۵]، و فایل سیستم [۵۵] بهبود دهند. به‌عنوان مثال بایراوسوندارام و همکاران [۲] خرابی‌های ثبت شده‌ی زیرسامانه‌ی دیسک سامانه‌های ذخیره‌سازی داده (شامل ۱,۵۳ میلیون دیسک) را مورد بررسی

از افزودنی‌های پروتکل‌های RAID استفاده می‌کند. پروتکل‌های RAID با توزیع داده میان چندین رسانه‌ی ذخیره‌سازی، کارایی دسترسی به داده را افزایش می‌دهند. این پروتکل‌ها همچنین با نگهداری بیت توازن یا نگهداری آینه‌ای از کل داده در دیسک‌های افزونه، قابلیت اطمینان را افزایش می‌دهند. پروتکل‌های گوناگون RAID سطوح مختلفی از سربار فضای ذخیره‌سازی، کارایی و اتکاپذیری ارائه می‌دهند و انتخاب پروتکل RAID مناسب به کاربر کمک می‌کند که بسته به نیازهای موجود، مصالحه‌ای میان هزینه، اتکاپذیری و کارایی برقرار کند.

شکل ۱ شمایی را از جریان ذخیره‌ی داده در سامانه نشان می‌دهد. درخواست‌ها توسط منطق پیشین دریافت می‌شود و درخواست‌های نوشتن پس از نوشته شدن داده بر روی حافظه‌ی سراسری پاسخ داده می‌شود. بنابراین تأخیر اجرای عملیات نوشتن تنها به اندازه‌ی دسترسی به حافظه DRAM است. درخواست‌های خواندن در صورت وجود داده‌ی درخواستی در حافظه‌ی نهان پردازنده‌ی منطق پیشین حتی می‌تواند با تأخیر بسیار کم پاسخ داده شوند. داده‌ی درخواستی در صورتی که در حافظه‌ی نهان پردازنده نباشد با تأخیر دسترسی به حافظه‌ی سراسری واکنشی می‌شود و در صورت عدم وجود داده در حافظه‌ی سراسری، با دسترسی به دیسک واکنشی می‌شود.

۳-۲- شبیه‌سازی مونت کارلو

شبیه‌سازی مونت کارلو بر نمونه‌گیری تصادفی پی‌درپی تکیه دارد و در مواقعی که استفاده از سایر روش‌ها، مانند تحلیل‌های ریاضی و جبری، غیر ممکن یا غیر عملی است، بسیار محبوب است. یکی از زیرشاخه‌های شبیه‌سازی مونت کارلو، تزریق اشکال آماری^{۲۳} است. در تزریق اشکال آماری، از بین N اشکال ممکن، n اشکال به طور تصادفی انتخاب شده، به سامانه تزریق می‌شوند و اثر آن‌ها در عملکرد سامانه ارزیابی می‌شود. یک مسئله‌ی مهم در تزریق اشکال آماری، انتخاب مناسب تعداد نمونه، n، از تعداد کل حالت‌های ممکن، N، است. لوگول^{۲۴} و همکارانش [۳۸] (۱) را برای تعیین n پیشنهاد می‌کنند:

$$n = \frac{N}{1 + e^{2 \times \frac{N-1}{t^2 \times p \times (1-p)}}} \quad (1)$$

در این رابطه N جمعیت اشکال‌ها، p احتمال تبدیل اشکال به خرابی، e حاشیه‌ی خطا، و t نقطه‌ی برش^{۲۵} درجه اطمینان مورد نظر در توزیع نرمال است. با فرض نامتناهی بودن جمعیت اشکال، N، تعداد مناسب نمونه، n، از حد $N \rightarrow \infty$ (۱) به دست می‌آید:

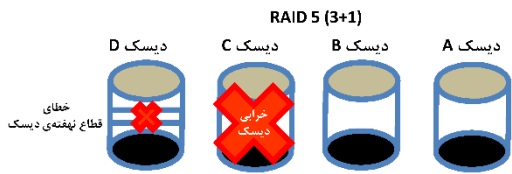
$$n = \frac{t^2 \times p \times (1-p)}{e^2} \quad (2)$$

در آزمایش‌هایی که در این مقاله انجام شده است، N نامتناهی فرض می‌شود و تعداد مناسب نمونه با در نظر گرفتن حاشیه خطای ۱٪ (e=0.01)، درجه اطمینان ۹۵٪ (t=1.96)، و محافظه‌کارانه‌ترین مقدار برای p (p=0.5) محاسبه می‌شود که نتیجه‌ی آن n=9608 است. در نتیجه در تمامی آزمایش‌ها، برای هر پیکربندی حداقل ۹۶۰۸ عملیات تزریق اشکال انجام شده است.

۳- کارهای پیشین

در این بخش مطالعات انجام شده در حوزه سامانه‌های ذخیره‌سازی داده و چالش‌های اتکاپذیری پیش رو در طراحی سامانه‌ها مورد بررسی قرار می‌گیرد. مطالعات پیشین در زمینه‌ی اتکاپذیری سامانه‌های ذخیره‌سازی داده به دو دسته‌ی کلی تقسیم می‌شوند. دسته‌ی اول شامل مطالعاتی میدانی است که بر کشف و تحلیل دلایل خرابی سامانه‌ها تمرکز داشته‌اند. این مطالعات عواملی همچون خرابی دیسک، خرابی پردازنده، خطای نرم‌افزار، قطع منبع تغذیه و خطای انسانی را از دلایل خرابی

دیسک A، دیسک B خراب شود، داده‌ی سکتور آلوده به LSE در دیسک A قابل بازیابی نخواهد بود، چرا که آرایه‌ی RAID5 تنها می‌تواند یک خرابی دیسک را تحمل کند.



شکل ۲: مثالی که نشان می‌دهد در ترکیب رخداد LSE و خرابی دیسک، سکتورهایی که آلوده به LSE هستند قابل بازیابی نیستند.

۴-۳- خطای انسانی در سامانه‌های ذخیره‌سازی داده

رخداد خطای انسانی در کاربردهایی که به‌طور کامل خودکار نشده‌اند اجتناب ناپذیر است. در عین حال در بسیاری از کاربردهای بحرانی-ایمن^{۳۶} و تجاری در مواقعی که برای تصمیم‌گیری‌های پیچیده به مهارت‌های ذهنی انسان نیاز است خودکار شدن کامل نه تنها ممکن که مطلوب هم نیست. در سامانه‌های کامپیوتری از جمله سامانه‌های ذخیره‌سازی داده، علاوه بر عوامل نرم‌افزاری و سخت‌افزاری، خطای انسانی نیز عاملی برای خرابی است. با وجود همه‌ی تلاش‌های انجام شده برای کاهش نرخ خطای انسانی، رخداد آن در سامانه‌ها و عواقب ناشی از آن غیر قابل اجتناب است. بنابراین از طراحان این انتظار می‌رود که احتمال وقوع خطای انسانی و اثر آن بر اتکاپذیری سامانه را در نظر بگیرند.

به‌عنوان یک مثال از خطای انسانی در سامانه‌های ذخیره‌سازی داده، در زیرسامانه‌ی دیسک رخداد یک خطای انسانی در جایگزینی یک دیسک معیوب می‌تواند منجر به عدم دسترس‌پذیری شود. خطای انسانی همچنین می‌تواند بر روی کنترل‌کننده‌ی ورودی/خروجی، منطق پیشین یا منطق پسین سامانه رخ دهد (که معمولاً در آن‌ها از پیکربندی کارکرد دوتایی همزمان استفاده می‌شود). با خرابی یکی از کنترل‌کننده‌های ورودی/خروجی وظایف کنترل‌کننده‌ی خراب به کنترل‌کننده‌ی نظیر آن محول می‌شود. در این وضعیت عملیات تعمیر یا تعویض مؤلفه‌ی آسیب دیده و پیکربندی مؤلفه‌ی تعمیر یا تعویض شده با اجرای یک فایل دسته‌ای بر عهده ی یک کارشناس فنی است. رخداد هر گونه خطا در فرایند تعمیر/تعویض و پیکربندی می‌تواند موجب عدم موفقیت در فرایند سرویس شود که متعاقباً فقدان داده یا عدم دسترس‌پذیری را در پی خواهد داشت. خطای انسانی همچنین می‌تواند موجب فقدان داده در حافظه‌ی سراسری شود. در صورت خرابی یکی از دو کارت حافظه آینه‌ای، کارت معیوب با یک کارت جدید جایگزین خواهد شد. در این حالت در صورتی که سامانه در زمان انجام سرویس در حال کار باشد جایگزینی کارت نادرست (تعویض کارت سالم به جای کارت معیوب) موجب فقدان غیر قابل بازگشت بخشی از داده‌ی کاربر می‌شود.

یکی از اجزای سامانه که احتمال رخداد خطای انسانی در آن بالا است آرایه دیسک می‌باشد. آرایه‌ای با پیکربندی RAID5 و بدون دیسک ذخیره را تصور کنید. در چنین آرایه‌ای در صورتی که خرابی دیسک رخ دهد، دیسک خراب باید ابتدا با یک دیسک نو جایگزین شود و پس از آن عملیات بازیابی داده بر روی دیسک جدید آغاز می‌شود. این احتمال وجود دارد که اپراتور به جای جدا کردن دیسک خراب (دیسک B)، یک دیسک سالم (دیسک A) را جدا کند و آن را با دیسک نو جایگزین نماید. این شکل از خطای انسانی، جایگزینی دیسک اشتباه یا WDR نام دارد که بر اثر آن، دو دیسک آرایه از دسترس خارج می‌شود (دیسک خراب B و دیسک سالم A که به اشتباه از آرایه جدا شده است) که در آرایه‌ی RAID5 منجر به عدم دسترس‌پذیری کل آرایه خواهد شد. اگر در گام بعدی خطای انسانی تشخیص داده شود و اپراتور دیسک سالمی که به اشتباه جدا شده بود را به جای اول خود بازگرداند و این بار دیسک خراب را به درستی جدا کند، آرایه‌ی دیسک دوباره در دسترس قرار می‌گیرد.

قرار داده‌اند. این مطالعه، مشخصات خطای قطاع نهفته در زیرسامانه‌ی دیسک را به‌دقت مورد بررسی قرار می‌دهد و روش‌های مناسب برای جلوگیری از آلودگی داده را پیشنهاد می‌کند. مطالعه‌ی دیگری توسط لی و همکاران [۴۰] روشی برای بازسازی داده^{۳۷} پیشنهاد می‌دهد که از انتشار خطای قطاع نهفته جلوگیری می‌کند. هرچند در حوزه‌ی سامانه‌های ذخیره‌سازی داده، مدل‌سازی اثر خرابی‌های ناشی از خطای نرم بر اتکاپذیری سامانه تاکنون انجام نشده است.

۳-۳- خرابی دیسک سخت

خرابی دیسک که موجب عدم توانایی دیسک در پاسخگویی به درخواست‌های نوشتن یا خواندن می‌شود ناشی از عواملی همچون خرابی قطعات مکانیکی و الکترونیکی است [۱۳][۱۵][۶۹]. مطالعات میدانی نشان می‌دهد که نرخ خرابی دیسک ثابت نیست و از توزیع ویبول^{۳۸} پیروی می‌کند [۱۳]. یک خطای محتمل در دیسک، خطای قطاع نهفته^{۳۹} (LSE) است. این خطا به‌طور پنهان در قطاع دیسک اتفاق می‌افتد، منجر به از بین رفتن داده‌ی قطاع می‌شود و تا زمان دسترسی به قطاع قابل تشخیص نیست [۳][۵۸]. در صورت تشخیص این خطا با روش‌هایی مانند زدودن دیسک (خواندن دوره‌ای قطاع‌های دیسک به‌منظور تشخیص خطای قطاع نهفته) می‌توان داده‌ی کاربر را از دیسک‌های سالم آرایه‌ی RAID بازیابی نمود و بدون نیاز به جایگزینی دیسک، داده‌ی قطاع آسیب دیده را به یک قطاع سالم منتقل کرد [۱۵]. مطالعات میدانی الرات^{۴۰} و شیندلر^{۴۱} [۱۶] نشان می‌دهد که خرابی دیسک و خطای قطاع نهفته‌ی دیسک هر دو به خوبی با توزیع ویبول [۴۸] مطابق رابطه (۳) مدل می‌شوند.

$$f(t) = \left(\frac{\beta}{\eta}\right) \left(\frac{t-\gamma}{\eta}\right)^{\beta-1} e^{-\left(\frac{t-\gamma}{\eta}\right)^{\beta}} \quad (3)$$

در این رابطه t زمان، η عمر مشخصه^{۳۲}، γ پارامتر موقعیت^{۳۳}، و β پارامتر شکل^{۳۴} است. جدول ۱ پارامترهای توزیع ویبول خرابی دیسک و خطای قطاع نهفته ی دیسک را برای سه نوع دیسک نشان می‌دهد. این داده‌ها با مطالعه‌ی ۱۰۰۰۰ سامانه‌ی ذخیره‌سازی داده توسط الرات و شیندلر [۱۶] جمع‌آوری شده است. دیسک‌های A و B با اندازه‌ی یک ترابایت و از نوع SATA^{۳۵} رده متوسط هستند و به‌طور متوسط سه سال در میدان بوده‌اند. دیسک‌های نوع C با اتصال فیبر نوری در رده‌ی بالا جای می‌گیرند، ۲۸۸ گیگابایت ظرفیت دارند و به‌طور متوسط ۵ سال در میدان بوده‌اند. با توجه به اینکه الرات و شیندلر خرابی دیسک و خطای قطاع نهفته ی دیسک را با توزیع ویبول دو پارامتری توصیف کرده‌اند، در (۳) مقدار γ برابر با صفر خواهد بود.

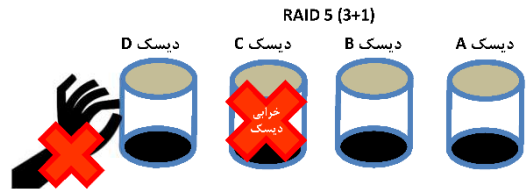
جدول ۱: پارامترهای توزیع ویبول برای خرابی دیسک، بازیابی دیسک، خطا قطاع نهفته‌ی دیسک و زدودن دیسک [۱۶].

مدل دیسک	خرابی دیسک (ddf)		بازیابی (dRec)		خطای قطاع نهفته (dLSE)		زدودن دیسک (dScrub)	
	η_{ddf}	β_{ddf}	η_{Rec}	β_{Rec}	η_{LSE}	β_{LSE}	η_{Scrub}	β_{Scrub}
SATA Disk A	302,016	1.13	22.7	1.65	12,325	1	186	1
SATA Disk B	4,833,522	0.576	20.25	1.15	42,857	1	160	0.97
FC/SCSI Disk C	1,058,364	0.721	6.75	1.4	50,254	1	124	2.1

۳-۳-۱- خطای قطاع نهفته در آرایه‌ی دیسک

در یک آرایه‌ی دیسک، مثلاً RAID5، ترکیب خطای قطاع نهفته‌ی دیسک و خرابی دیسک منجر به فقدان داده می‌شود. شکل ۲ نشان می‌دهد در ترکیب رخداد LSE و خرابی دیسک، سکتورهایی که آلوده به LSE هستند قابل بازیابی نیستند و در نتیجه در این سکتورها فقدان داده رخ می‌دهد. سناریویی را در نظر بگیرید که دیسک A آلوده به LSE است. در صورتی که پیش از تشخیص و بازیابی LSE

هرچند، این احتمال وجود دارد که خطای انسانی به موقع تشخیص داده نشود و آرایه‌ی دیسک، پیش از تشخیص خطای انسانی، شروع به بازیابی داده کند که می‌تواند آرایه را به وضعیتی غیر قابل پیش‌بینی، مثلاً فقدان داده ببرد. همچنین این احتمال وجود دارد که پیش از تشخیص خطای انسانی، دیسک جدا شده‌ی سالم آسیب ببیند یا اپراتور، دیسک سالم را (با فرض اینکه خراب است) دور بیندازد که در این صورت، کل داده‌ی آرایه بر اثر خرابی دیسک دوتایی^{۳۷} (DDF) از بین خواهد رفت.



شکل ۳: مثالی که نشان می‌دهد چگونه خطای انسانی در جایگزینی دیسک خراب می‌تواند کل آرایه را از دسترس خارج کند.

جدول ۲: احتمال خطای انسانی گزارش شده برای قرائت دستورالعمل توسط خلبان، EUROCONTROL [۲۰]

ASAS ^{۳۶} Study	Area	TRACON ^{۴۵}	Tower (Ground)	Tower (Local)	En-Route	نوع خطا
0.005	0.009	0.009	0.004	0.002	0.008	HEP

جدول ۳: احتمال خطای انسانی گزارش شده برای نیروگاه‌های هسته‌ای [۹][۶۵]

فعالیت	احتمال خطای انسانی
احتمال خطای انسانی برای کارهای روزمره‌ی مربوطه	$3 \times 10^{-3} \sim 1 \times 10^{-2}$
احتمال غفلت در صورتی که آیتم در فرایند گنجانده شده باشد	3×10^{-3}
خطای ساده‌ی ریاضی در هنگام چک کردن	3×10^{-2}
غفلت بازرس از تشخیص خطای اپراتور	10^{-1}
فعالیت‌های همگانی یا استرس بالا/خطرناک	0.2 ~ 0.3
به‌کارگیری نادرست قوانین بازیابی ^{۴۷}	0.1 ~ 0.9 (0.5 avg.)
احتمال غفلت در صورت استفاده از لیست بازیابی ۱۰ آیتمی	$10^{-4} \sim 5 \times 10^{-3}$ (1×10^{-3} avg.)
استفاده از سیاست Carry Out Plant بدون چک کردن عملکرد اپراتور	$5 \times 10^{-3} \sim 5 \times 10^{-2}$ (5×10^{-3} avg.)
انتخاب کنترل نادرست، در زمان استفاده از کنترل‌های مشابه (از نظر ظاهری) و دارای برجسب	$10^{-3} \sim 10^{-2}$ (3×10^{-3} avg.)

مطالعات زیادی تلاش کرده‌اند تا نقش انسان در پیکربندی و نگهداری سامانه را کاهش دهند [۱۸][۳۷][۲۹][۳۰][۲۴][۴۹]. مطالعه انجام شده توسط اپنهايمر و همکاران [۴۹] علل خرابی در سرویس‌های اینترنت با مقیاس بالا را بررسی کرده است و گزارش می‌کند که خطای اپراتور دست کم عامل ۱۹٪ از کل خرابی سامانه است. این مطالعه در ادامه پیشنهاد می‌کند که خطای انسانی مربوط به اپراتور می‌تواند با مجهز کردن سامانه به محیط کاربری تصویری کاهش یابد. مطالعات دیگر با پیشنهاد روش‌هایی همچون پشتیبانی معماری برای کاهش تأثیر حوادث [۲۹]، تحلیل بر پایه‌ی مدل ریسک socio-technical [۳۷]، و محاسبات خودمختار^{۳۸} [۱۸][۳۰]، سعی در کاهش یا برطرف کردن خطای انسانی داشته‌اند. با وجود همه ی این تلاش‌ها رخداد خطای انسانی در سامانه‌ها و عواقب ناشی از آن غیر قابل اجتناب است [۲۴].

۳-۵- مدل‌های اتکاپذیری سامانه

مدل‌های زیادی برای ارزیابی اتکاپذیری سامانه‌های ذخیره‌سازی داده، و البته با تمرکز بر زیرسامانه‌ی دیسک (سخت یا حالت جامد) پیشنهاد شده است که غالباً به تخمین قابلیت اطمینان یا دسترس‌پذیری می‌پردازند. قابلیت اطمینان زیرسامانه‌ی دیسک عبارت است از احتمال اینکه هیچ فقدان داده‌ای در بازه‌ی زمانی t_0 تا t رخ نداده باشد [۱۱][۲۸]. مقدار این پارامتر به نرخ خرابی دیسک، نرخ تعمیر آن و روش افزونگی که کار گرفته شده در زیرسامانه‌ی دیسک بستگی دارد. در ادبیات سامانه‌های ذخیره‌سازی داده، علاوه بر قابلیت اطمینان، استفاده از معیارهایی مانند زمان متوسط فقدان داده^{۴۸} (MTTDL) [۱۹]، خرابی دو دیسک^{۴۹} (DDF) [۵][۱۴][۱۷]، بزرگی فقدان داده^{۵۰} (MDL) [۲۲] و بزرگی نرمال شده‌ی فقدان داده^{۵۱} (NOMDL) [۲۲] نیز مرسوم است.

مطالعه‌ای توسط الراث و همکاران انجام شده است که مدل مارکوف قابلیت اطمینان پیکربندی‌های مرسوم RAID را ارائه می‌دهد. این مطالعه همچنین نشان می‌دهد که نرخ خرابی دیسک سخت در طول عمر آن تغییر می‌کند و توزیع خرابی دیسک سخت بیشتر از آنکه به توزیع نمایی نزدیک باشد، به توزیع ویبول نزدیک است [۱۵]. مطالعات دیگری نشان می‌دهد که خرابی‌های رخ داده در یک محفظه‌ی دیسک سخت، مستقل از هم نیستند و بین این خرابی‌ها همبستگی وجود دارد که این همبستگی می‌تواند ناشی از شرایط محیطی و منابع مشترک دیسک‌ها باشد [۳][۲۷]. مطالعه‌ای توسط بایراواسوندارام و همکاران انجام شده است که از وجود محلیت زمانی^{۵۲} و محلیت مکانی^{۵۳} در خطای قطعه نهفته دیسک خبر می‌دهد [۳]. با توجه به تغییر نرخ خرابی دیسک سخت در طول عمر آن و از آنجا که مدل‌های مارکوف تنها با فرض نرخ ثابت خرابی (با توزیع نمایی) معتبر هستند، عده‌ای

۳-۴-۱- نرخ خطای انسانی در کاربردهای بحرانی-ایمن و تجاری

رخداد خطای انسانی در کاربردهای غیر خودکار اجتناب‌ناپذیر است. در عین حال، در مورد وظایف کلیدی در بسیاری از کاربردهای بحرانی-ایمن و تجاری که نیاز به مهارت‌های شناختی برای تصمیم‌گیری‌های پیچیده دارد، خودکارسازی مطلوب و ممکن نیست. علیرغم وجود روش‌های بسیاری برای کنترل نرخ خطای انسانی، مانند آموزش، استفاده از فهرست، و طراحی^{۳۹} Forgiving، وقوع خطای انسانی قابل اجتناب نیست. به‌عنوان مثال، بیش از ۷۰٪ سوانح هواپیماهای تجاری بر اثر سقوط هواپیمای تحت کنترل خلبان اتفاق می‌افتد [۸]. از این رو بروز خطای می‌بایست به‌عنوان بخشی از رفتار طبیعی انسان پذیرفته شود. برای درک بهتر و محاسبه کمی نرخ خطای انسانی در یک سامانه‌ی غیرخوش‌خیم^{۴۰}، روش‌های ارزیابی قابلیت اطمینان انسانی^{۴۱} (HRA) [۶۴] ارائه شده است که تمرکز اصلی آن بر محاسبه کمی احتمال خطای انسانی^{۴۲} (HEP) می‌باشد. احتمال خطای انسانی به‌سادگی توسط (۴) تعریف می‌شود [۲۰]:

$$HEP = \frac{\text{No. of Error Cases Observed}}{\text{No. of Opportunities for Human Errors}} \quad (4)$$

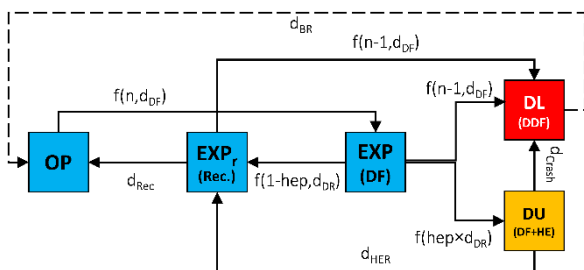
برای کاربردهای بحرانی-ایمن و تجاری مقدار HEP به طور عمده بین ۰,۰۰۱ و ۰,۰۱ است (بنابراین، نتایج شبیه‌سازی و مدل‌سازی انجام شده در این بخش از پژوهش با در نظر گرفتن مقدار ۰,۰۰۱ و ۰,۰۰۱ برای HEP گزارش شده است). به‌عنوان مثال مقادیر HEP گزارش شده توسط NASA از این قرار است: $1,9 \times 10^{-3}$ برای داده‌ی سویچ پرتاب، $5,3 \times 10^{-6}$ برای داده‌ی خطای فرمان ISS^{۴۳}، و $1,05 \times 10^{-7}$ برای داده‌ی خطای فرمان MER^{۴۴} [۷]. مثال‌های دیگری از احتمال

زمان مأموریت و حجم منطقی سامانه نرمال می‌کند (۵). این معیار می‌تواند دسترس پذیری سامانه را مستقل از اندازه و زمان مأموریت آن، گزارش کند.

$$NOMDU = \frac{\sum LSUD \times UD}{TLSS \times MT} \quad (5)$$

۴-۲- تحلیل RAID5

شکل ۴ نمودار حالت شبیه‌سازی مونت کارلو را برای پیکربندی RAID5 با در نظر گرفتن خرابی دیسک و خطای انسانی نشان می‌دهد. در تمامی نمودارهای حالت، برای نام‌گذاری حالت‌ها از قرارداد یکسانی استفاده کرده‌ایم. حالت‌هایی که در آن عدم دسترس پذیری رخ داده است با DU و حالت‌هایی که در آن فقدان داده رخ داده است با DL نام‌گذاری شده‌اند. در حالت‌هایی که با EXP نام‌گذاری شده‌اند، با رخداد خرابی بعدی، سامانه به وضعیت DU یا DL می‌رود. در حالت‌هایی که OP نام‌گذاری شده‌اند، رخداد خرابی بعدی منجر به DU/DL نمی‌شود. همچنین فرض می‌کنیم که در ابتدای مأموریت آرایه در وضعیت عملیاتی (OP) قرار دارد.



- n: تعداد دیسک
- hep: احتمال خطای انسانی
- d_{DF}: توزیع زمانی خرابی دیسک
- d_{Rec}: توزیع زمانی بازایی خرابی
- d_{HER}: توزیع زمانی بازایی خطای انسانی
- d_{DR}: توزیع زمانی جایگزینی دیسک خراب
- d_{RR}: توزیع زمانی بازایی خرابی یا استفاده از پشتیبان
- d_{Crash}: توزیع زمان سقوط دیسک پس از خطای انسانی

شکل ۴: نمودار حالت شبیه‌سازی مونت کارلو برای پیکربندی RAID5. با در نظر گرفتن خرابی دیسک و خطای انسانی

با رخداد اولین خرابی دیسک، وضعیت آرایه از **عملیاتی (OP)** به در معرض خرابی یا وضعیت هشدار (EXP) تغییر می‌کند. در وضعیت هشدار، رخداد دومین خرابی دیسک منجر به DL می‌شود، درحالی‌که وقوع خطای انسانی در جایگزین کردن دیسک خراب منجر به DU می‌شود. در وضعیت هشدار، اگر اپراتور به درستی دیسک خراب را با دیسک نو جایگزین کند، آرایه به وضعیت EXP_r می‌رود که در آن بازایی داده بر روی دیسک نو آغاز می‌شود. در وضعیت DU، اگر خطای انسانی تشخیص داده شده و برطرف شود، آرایه به وضعیت EXP_r می‌رود که در آن بازایی داده بر روی دیسک نو آغاز می‌شود. هرچند، اگر دیسک سالمی که به اشتباه از آرایه جدا شده به هر دلیلی آسیب ببیند، DDF رخ می‌دهد و آرایه به وضعیت DL می‌رود. در اینجا فرض می‌کنیم توزیع زمان آسیب دیدن دیسکی که به اشتباه جدا شده است، زمان سقوط، d_{Crash} است.

۴-۳- محاسبه NOMDU در رخداد عدم دسترس پذیری

در هر رخداد DU (رخداد i ام)، مقدار NOMDU مطابق (۶) محاسبه شده و به آمار شبیه‌سازی اضافه می‌شود.

$$NOMDU_i = \frac{LSUD_i \times UD_i}{TLSS \times MT} \quad (6)$$

در نتیجه رابطه (۵) به صورت رابطه (۷) بازنویسی می‌شود:

$$NOMDU = \sum_i NOMDU_i \quad (7)$$

از پژوهشگران روش مبتنی بر شبیه‌سازی را به جای مدل مارکوف پیشنهاد می‌کنند. الراث و همکاران با ارائه یک روش مبتنی بر شبیه‌سازی مونت کارلو و با در نظر گرفتن خطای قطعه نهفته‌ی دیسک، قابلیت اطمینان آرایه RAID5 را با فرض پیروی خرابی دیسک از توزیع ویبول تخمین می‌زنند [۱۴]. مدل مشابهی مبتنی بر شبیه سازی ارائه شده است که اثر خطای قطعه نهفته و زدودن دیسک را با هم در نظر می‌گیرد [۱۵].

مطالعه‌ی انجام شده توسط گرینان و همکاران [۲۲]، نقایص معیارهای مرسوم برای محاسبه قابلیت اطمینان (مانند MTDL) را برمی‌شمارد. این مطالعه معیار جدیدی با عنوان بزرگی فقدان داده (MDL) را پیشنهاد می‌کند که بیانگر مقدار داده‌ی از بین رفته در هر رخداد فقدان داده است.

۴- تحلیل خطای انسانی در آرایه دیسک

در این بخش، اتکاپذیری آرایه دیسک را با استفاده از شبیه‌سازی مونت کارلو ارزیابی می‌کنیم. استفاده از شبیه‌سازی مونت کارلو دو مزیت نسب به مدل‌های مارکوف^۴ و تحلیل MTDL دارد. اولین مزیت شبیه‌سازی مونت کارلو این است که می‌تواند بی‌نهایت وضعیت خرابی موجود (بی‌نهایت ترکیب ممکن خرابی سکتور، خرابی دیسک و خطای انسانی) را مدل کند و مزیت دوم این است که می‌تواند نرخ خرابی متغیر با زمان در دیسک را نیز مدل کند. در این بخش ابتدا معیاری جدید، NOMDU، را معرفی خواهیم کرد که برای ارزیابی دسترس‌پذیری سامانه‌های ذخیره سازی داده پیشنهاد می‌شود. سپس چهارچوبی برای ارزیابی اتکاپذیری آرایه‌های RAID با در نظر گرفتن خرابی دیسک، LSE و خطای انسانی پیشنهاد می‌کنیم.

مدل سامانه

جدول ۴ نمادها و پارامترهای مورد استفاده در مدل و توضیحات مربوط به هر یک را نشان می‌دهد.

جدول ۴: نمادها و پارامترهای مورد استفاده در مدل و توضیحات مربوط به هر یک

نماد	توضیحات
LSUD	اندازه منطقی داده خارج از دسترس ^{۵۵}
UD	مدت زمان عدم دسترس پذیری ^{۵۶}
TLSS	کل فضای ذخیره سازی منطقی ^{۵۷}
MT	مدت زمان مأموریت ^{۵۸}
LSLD	اندازه منطقی فقدان داده ^{۵۹}
RT	زمان بازایی ^{۶۰}

۴-۱- بزرگی نرمال شده‌ی عدم دسترس‌پذیری (NOMDU)

برای محاسبه‌ی عدم دسترس‌پذیری در یک سامانه‌ی ذخیره‌سازی داده به معیاری نیاز است که در سامانه‌های مختلف (با حجم‌ها و معماری‌های گوناگون) قابل محاسبه و قابل مقایسه باشد. معیار سنتی دسترس‌پذیری به دو دلیل برای سامانه‌های ذخیره‌سازی داده مناسب نیست:

(الف) دسترس‌پذیری تابعی از حجم سامانه است و زمانی که دو سامانه با معماری دقیقاً یکسان ولی حجم نابرابر با هم مقایسه می‌شوند، سامانه‌ی با حجم بالاتر دسترس‌پذیری کمتری خواهد داشت. بنابراین، معماری سامانه‌هایی با حجم‌های مختلف نمی‌تواند با این معیار مقایسه شود.

(ب) دسترس‌پذیری معیاری است که نمی‌تواند بزرگی داده‌ی خارج از دسترس را نشان دهد. در بسیاری از رخدادهای خرابی، تنها بخشی از داده از دسترس خارج می‌شود، درحالی‌که دسترس‌پذیری سنتی میان عدم دسترس‌پذیری یک بایت داده و عدم دسترس‌پذیری کل داده تفاوتی قائل نیست.

در اینجا معیار NOMDU را پیشنهاد می‌کنیم که مدت زمان عدم دسترس پذیری را در حجم منطقی داده‌ی خارج از دسترس ضرب می‌کند و حاصل را به کل

محاسبه‌ی NOMDL در رخدادهای بی‌پشتیبان

زمانی که آرایه در وضعیت DL قرار دارد کل داده بر اثر DDF از بین رفته است. در آرایه‌های بی‌پشتیبان^{۶۳}، آرایه‌هایی که هیچ نسخه‌ی پشتیبان یا آینه‌ای از داده ندارند، در وضعیت DL داده‌ی کاربر به طور دائمی و غیر قابل بازگشت از بین رفته است. بنابراین، بزرگی نرمال شده‌ی فقدان داده^{۶۴} (NOMDL) [۲۲] با (۸) محاسبه شده و به آمار شبیه‌سازی اضافه می‌شود.

$$NOMDL_{nonsurvivable_i} = \frac{LSLd_i}{TLSS} \quad (8)$$

مقدار NOMDL کل مأموریت آرایه از مجموع NOMDL ناشی از رخدادهای فقدان داده، به دست می‌آید:

$$NOMDL = \sum_i NOMDL_i \quad (9)$$

محاسبه‌ی NOMDU در رخدادهای با پشتیبان

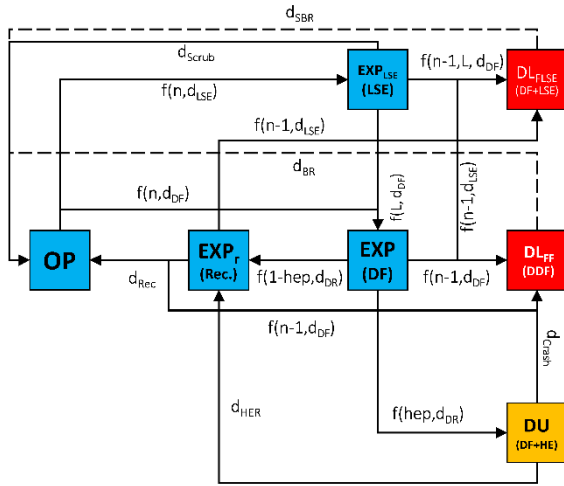
در صورتی که DL در آرایه‌ای با پشتیبان^{۶۵}، آرایه‌ای که حداقل یک نسخه‌ی پشتیبان یا آینه‌ی معتبر از داده‌ی آن وجود دارد، رخ دهد، داده‌ی آرایه می‌تواند از نسخه‌ی پشتیبان بازیابی شود. در این حالت، به اندازه‌ی زمان بازیابی پشتیبان، d_{BR} ، زمان لازم است تا داده‌ی آرایه از نسخه‌ی پشتیبان بازیابی شود. زمان بازیابی پشتیبان به پارامترهایی مانند اندازه‌ی داده‌ی از بین رفته، گذرده‌ی پشتیبان، گذرده‌ی آرایه، و پهنای باند شبکه بستگی دارد. از دید کاربر نهایی، داده‌ی با پشتیبان از بین نرفته است ولی در طول مدت بازیابی، خارج از دسترس می‌باشد. بنابراین، NOMDU محاسبه شده توسط فقدان داده‌ی با پشتیبان، از رابطه (۱۰) محاسبه می‌شود:

$$NOMDU_{survivable_DL_i} = \frac{LSLd_i \times RT_i}{TLSS \times MT} \quad (10)$$

۴-۴-۴-۴-۴ اتکاپذیری با در نظر گرفتن LSE

در این بخش، نمودار حالت شکل ۴ را توسعه داده‌ایم تا اثر LSE را نیز در کنار خرابی دیسک و خطای انسانی در آرایه‌ی RAID5 در نظر بگیریم. در این آرایه اگر پس از خرابی دیسک، خطای انسانی در جایگزین کردن دیسک رخ دهد، آرایه به وضعیت DU می‌رود. همچنین با رخداد دو خرابی دیسک پشت سر هم آرایه به وضعیت DLFF می‌رود و با ترکیب LSE و خرابی دیسک (در دو دیسک مختلف)، وضعیت DLFLSE پدید می‌آید.

در وضعیت OP تمام دیسک‌ها عملیاتی هستند و هیچ LSE رخ نداده است. با اولین رخداد خرابی دیسک، آرایه به وضعیت EXP می‌رود. در صورتی که یک (یا بیشتر) LSE رخ دهد نیز آرایه به وضعیت EXP_LSE خواهد رفت. LSE می‌تواند با عملیات زدودن دیسک برطرف شود ولی توزیع زمانی زدودن دیسک، d_{scrub} ، به سیاست‌های نگهداری سامانه بستگی دارد (چرا که این عملیات به شدت کارایی را تحت تأثیر خود قرار می‌دهد). حداقل زمان زدودن دیسک نیز تابعی از گذرده‌ی آرایه است. اگر پیش از عملیات زدودن دیسک یک خرابی دیسک رخ دهد، داده‌ی تمام سکتورهایی که آلوده به LSE بوده‌اند غیر قابل بازیابی خواهد بود (DLFLSE). الراث و پچت^{۶۶} [۱۵] این ترکیب خرابی را به‌عنوان DDF در نظر می‌گیرند، درحالی‌که بزرگی فقدان داده (و متعاقباً زمان مورد نیاز برای بازیابی داده در آرایه‌های با پشتیبان) با DDF بسیار متفاوت است که این امر موجب بزرگ انگاری^{۶۷} DU و DL می‌شود. سکتورهای با پشتیبان می‌توانند با استفاده از نسخه‌ی پشتیبان بازیابی شوند که توزیع زمان این بازیابی، d_{SBR} ، تابعی از تعداد سکتورهای مفقود، گذرده‌ی پشتیبان، گذرده‌ی آرایه، و سرعت شبکه^{۶۸} است.



شکل ۵: نمودار حالت شبیه‌سازی مونت کارلو برای پیکربندی RAID5. با در نظر گرفتن خرابی دیسک، LSE و خطای انسانی

n: تعداد دیسک
 hep: احتمال خطای انسانی
 d_{DF} : توزیع زمانی خرابی دیسک
 d_{Rec} : توزیع زمانی بازیابی خرابی
 d_{HER} : توزیع زمانی بازیابی خطای انسانی
 d_{DF} : توزیع زمانی جایگزینی دیسک خراب
 d_{BR} : توزیع زمانی بازیابی خرابی با استفاده از پشتیبان
 d_{SBR} : توزیع زمان بازیابی یک سکتور از پشتیبان
 d_{Crash} : توزیع زمان سقوط دیسک پس از خطای انسانی
 L: تعداد دیسک آسیب دیده با خطای قطاع نهفته

شکل ۵: نمودار حالت شبیه‌سازی مونت کارلو برای پیکربندی RAID5. با در نظر گرفتن خرابی دیسک، LSE و خطای انسانی

پارامتر L بیانگر تعداد دیسک آلوده به LSE است. در حالت $L=1$ ، زمانی که تنها دیسک آلوده به LSE خراب می‌شود، گذار از وضعیت EXP_LSE به EXP رخ می‌دهد. توزیع زمان خرابی دیسک آلوده به LSE با دیسک سالم متفاوت است، چرا که خرابی دیسک آلوده به LSE می‌تواند دلایل دیگری مانند تخصیص افراطی بلوک^{۶۹} (EBR) داشته باشد که با مطالعه‌ی داده‌های میدانی قابل اندازه‌گیری است [۱۵]. هرچند که نرخ آشکاری برای تخصیص افراطی بلوک وجود ندارد و این نرخ به طور ضمنی در d_{DF} گنجانده شده است.

زمانی که یکی از $n-1$ دیسکی که آلوده به LSE نیستند خراب می‌شود، بر اثر ترکیب LSE و خرابی دیسک، آرایه به وضعیت DLFLSE می‌رود که توزیع زمانی این رخداد تابعی از $n-1$ و d_{DF} است. لازم به ذکر است که اگر بیش از یک دیسک آلوده به LSE باشد، خرابی هر یک از n دیسک آرایه را به وضعیت DLFLSE می‌برد^{۷۰}. بنابراین، گذار از وضعیت EXP_LSE به EXP و DLFLSE تابعی از L ، تعداد دیسک‌های آلوده به LSE است. در وضعیت‌های EXP و EXP_LSE، اگر پیش از جایگزینی دیسک یا تکمیل بازیابی خطا، LSE رخ دهد، آرایه به وضعیت DLFLSE می‌رود. هر چند، الراث و پچت [۱۵] احتمال این رخداد را پایین می‌دانند و از آن صرف نظر کرده‌اند. وضعیت‌های DLFF و DU به ترتیب مشابه وضعیت‌های DL و DU در شکل ۴ است و محاسبات NOMDU و NOMDL مشابه بخش مقدمه انجام می‌شود.

۴-۵-۴-۵-۴ شبیه‌سازی مونت کارلو

در شبیه‌سازی مونت کارلو، رخدادهای خرابی دیسک و LSE با توزیع دلخواه (در اینجا توزیع ویبول استخراج شده از داده‌های میدانی) ایجاد می‌شوند. پس از رخداد خرابی دیسک، زمان بازیابی خرابی با توزیع استخراج شده از داده‌های میدانی معین می‌شود. شکل ۶ مثالی است که نحوه‌ی شبیه‌سازی مونت کارلو برای یک آرایه RAID5(3+1) را نشان می‌دهد. در زمان‌های ۴۰۷ و ۸۹۳، پیش از بازیابی خرابی دیسک اول، خرابی دیسک دوم رخ داده که منجر به فقدان داده شده است. در زمان ۴۰۷، آرایه با پشتیبان بوده است و داده‌ی مفقود با استفاده از نسخه‌ی پشتیبان بازیابی شده است. در زمان ۸۹۳، هرچند، داده‌ی پشتیبان بوده و فقدان داده (DL) به طور غیر قابل بازگشت رخ داده است.

شده ممکن است بلافاصله دور انداخته شود، پارامتر موقعیت، γ ، صفر فرض شده است. جدول ۵ پارامترهای خطای انسانی را نشان می‌دهد.

جدول ۵: پارامترهای خطای انسانی، استخراج شده از داده‌های میدانی و مشاوره با کارشناس‌های فنی مرکز داده

جایگزینی دیسک خراب (d_{DR})		بازیابی خطای انسانی (d_{HER})		سقوط دیسک به اشتباه جدا شده (d_{Crash})	
β_{DR}	η_{DR}	β_{HER}	η_{HER}	β_{Crash}	η_{Crash}
2	0.5	2	1	1.4	8760

زمان بازیابی خرابی با استفاده از نسخه‌ی پشتیبان (در رخدادهای DL)، d_{BR} ، نیز می‌تواند با توزیع ویبول سه پارامتره توصیف می‌شود. در رخدادهای DDF (یا TDF در $RAID6$)، داده‌ی دیسک‌های خراب از نسخه‌ی پشتیبان بازیابی می‌شود. روش جایگزینی هم وجود دارد که ابتدا داده‌ی یک دیسک را از نسخه‌ی پشتیبان بازیابی کرده و سپس داده‌ی دیسک دوم را با استفاده از XOR دیسک‌های موجود ($n-1$ دیسک) تولید می‌کند. با فرض استفاده از یک شبکه‌ی $1Gbps$ بین سامانه‌ی ذخیره‌سازی داده و نسخه‌ی پشتیبان و استفاده از آرایه‌ای با ۸ دیسک $500GB$ SATA با سرعت $50MBps$ ، بازیابی دیسک اول از روی نسخه‌ی پشتیبان (با فرض اینکه پشتیبان می‌تواند داده با پهنای باند $1Gbps$ را تأمین کند) ۱۰ ساعت طول می‌کشد. با فرض اینکه دیسک‌های آرایه با گذرگاه $1.5 Gbps$ متصل شده‌اند، تولید داده‌ی دیسک n ام با استفاده از XOR دیسک‌های عملیاتی نیز 10.4 ساعت طول می‌کشد [۱۵]. این تحلیل نشان می‌دهد که برای بازیابی DDF با استفاده از نسخه‌ی پشتیبان به حداقل 20 ساعت زمان نیاز است ($\gamma = 20$). در آزمایشات دو برابر این مقدار (۴۰ ساعت) به‌عنوان عمر مشخصه، η ، و پارامتر شکل، β ، را مقدار ۲ در نظر می‌گیریم.

در مواقعی که بعضی از سکتورهای آرایه بر اثر LSE مفقود شده است، زمان بازیابی فقدان داده، d_{SBR} ، تابعی از تعداد سکتورهای مفقود شده و اندازه‌ی سکتور است. از آنجا که هر سکتور معمولاً اندازه‌ی کوچک $4KB$ دارد، حداقل زمان بازیابی به حداقل زمان پاسخ دیسک و تأخیر شبکه بستگی دارد. ما زمان یک میلی‌ثانیه ($1ms$) را به‌عنوان کمینه زمان لازم برای بازیابی یک سکتور ($\gamma = 2.7 \times 10^{-7}$)، دو میلی‌ثانیه را برای عمر مشخصه ($\eta = 5.5 \times 10^{-7}$)، و مقدار ۲ را برای پارامتر شکل، β ، در نظر می‌گیریم. پارامترهای ویبول d_{BR} و d_{SBR} در جدول ۶ نشان داده شده است.

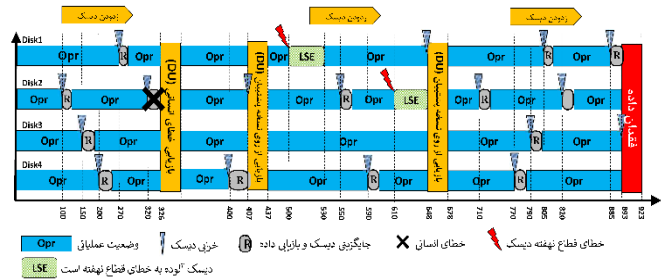
جدول ۶: پارامترهای بازیابی فقدان داده، استخراج شده از داده‌های میدانی و مشاوره با کارشناس‌های فنی مرکز داده

بازیابی خرابی سکتور (d_{SBR})			بازیابی خرابی دیسک (d_{BR})		
γ_{SBR}	β_{SBR}	η_{SBR}	γ_{BR}	β_{BR}	η_{BR}
2.7×10^{-7}	2	5.5×10^{-7}	20	2	40

۵- نتایج شبیه‌سازی

۵-۱- راه‌اندازی محیط آزمایش

برای هر پیکربندی مورد آزمایش، شبیه‌سازی مونت‌کارلو برای ۱۰۰۰ آرایه‌ی دیسک انجام شده است (با پارامترهای ارائه شده در بخش مقدمه). در هر آزمایش ده سال (87600 ساعت) مأموریت آرایه شبیه‌سازی می‌شود. محیط شبیه‌سازی مونت‌کارلو به طور کامل در محیط $C++$ پیاده‌سازی شده است و کد منبع آن در دسترس عموم قرار داده شده است 76 . نتایج این بخش با فرض بی‌پشتیبان بودن سامانه استخراج شده است.



شکل ۶: مثالی از شبیه‌سازی مونت کارلوی یک آرایه‌ی RAID5 (3+1)

در زمان 326 ، جایگزینی دیسک خراب با خطای انسانی مواجه شده است و سامانه تا زمان بازیابی خطای انسانی، از دسترس خارج شده است. در زمان 610 ، یک LSE در دیسک ۲ رخ داده است و پیش از برطرف کردن LSE (با عملیات زدودن دیسک)، یک خرابی در دیسک ۱ رخ داده است که منجر به فقدان داده در سکتورهای آلوده به LSE شده است. ولی از آنجا که داده پشتیبان بوده است، آرایه توانسته است داده‌ی درست را از نسخه‌ی پشتیبان بازیابی کند و داده‌ی کاربر تنها برای مدتی از دسترس خارج شده است.

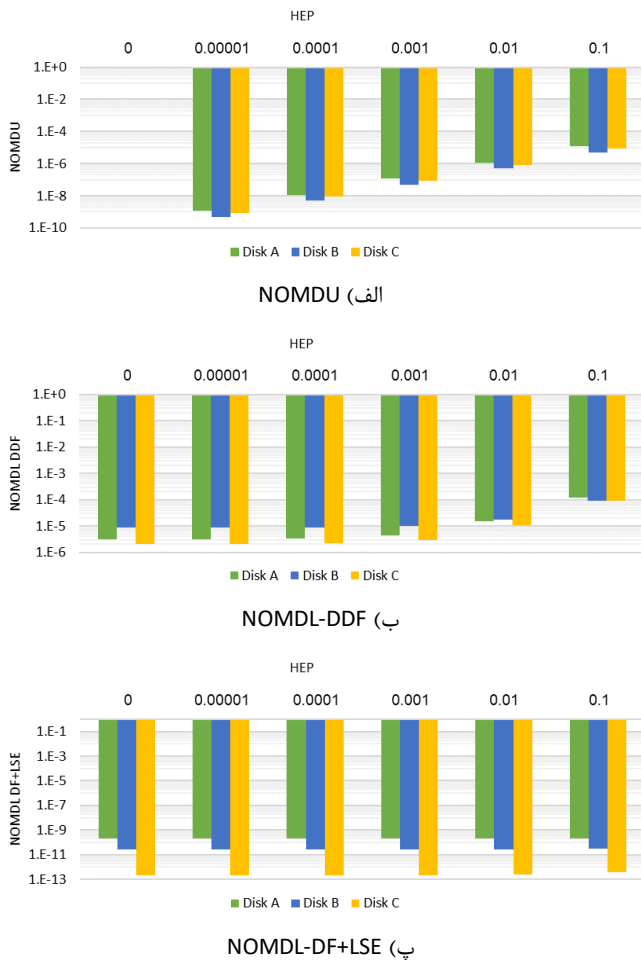
عملیات زدودن دیسک در بازه‌های زمانی معین انجام می‌شود. با توجه به آدرس فیزیکی داده و مدت زمانی که عملیات زدودن دیسک طول می‌کشد، زمان دقیق تصحیح LSE در هر آدرس محاسبه می‌شود. در اینجا فرض می‌کنیم عملیات زدودن دیسک به تمامی سکتورهای آرایه دسترسی ترتیبی دارد (با شروع از آدرس ۰) و توزیع زمانی دسترسی، یکنواخت^{۱۱} است. مثلاً در شکل ۶ در زمان 500 یک LSE در دیسک ۱ رخ داده است و در زمان 530 ، با عملیات زدودن دیسک، LSE برطرف شده است.

۴-۶- پارامترهای شبیه‌سازی مونت کارلو

همان‌گونه که در بخش مقدمه بحث شد، خرابی دیسک، LSE ، بازیابی دیسک، و زدودن دیسک همگی با توزیع ویبول توصیف می‌شوند. جدول ۱ پارامترهای ویبول برای سه دیسک مورد آزمایش را نشان می‌دهد. برای توزیع زمانی عملیات جایگزینی دیسک و بازیابی خطای انسانی نیز توزیع ویبول انتخاب مناسبی است. زمان‌جایگزینی دیسک، d_{DR} ، مقدار کمینه^{۱۲} ندارد ($\gamma = 0$)، چرا که اپراتور ممکن است بلافاصله پس از خرابی دیسک، آن را جایگزین کند. ما برای پارامتر شکل، β ، مقدار ۲ را در نظر می‌گیریم تا مشابه توزیع بازیابی دیسک، توزیعی متمایل به راست^{۱۳} داشته باشیم. برای عمر مشخصه، η ، مقدار 0.5 ساعت در نظر گرفته شده است. این مقدار از تاریخچه‌ی سرویس مرکز داده‌ی دانشگاه صنعتی شریف 74 استخراج شده است و به‌عنوان زمان مورد انتظار برای جایگزینی دیسک، در شبیه‌سازی‌ها مورد استفاده قرار گرفته است. مرکز داده دانشگاه صنعتی شریف شامل بیش از 70 قفسه پردازشی و ذخیره‌سازی (با ظرفیتی بیش از 100 پتابایت) می‌باشد. این مرکز داده با سامانه‌های ذخیره‌سازی داده $SAB-SE [71]$ تجهیز شده است که هر گره آن ظرفیت اتصال حداکثر 72 دیسک را دارا می‌باشد و در مجموع ظرفیت نصب 27000 دیسک را برای این مرکز داده ایجاد می‌کند.

زمان تشخیص و بازیابی خطای انسانی با d_{HER} نمایش داده می‌شود. از آنجا که خطای انسانی می‌تواند بلافاصله تشخیص داده شده و بازیابی شود، پارامتر موقعیت، γ ، را برابر صفر فرض می‌کنیم. برای پارامتر شکل، β ، نیز مقدار ۲ را در نظر می‌گیریم تا مشابه توزیع بازیابی دیسک، توزیعی متمایل به راست داشته باشیم. در نهایت، با مشاوره‌ی کارشناس‌های فنی مرکز داده‌ی دانشگاه صنعتی شریف، عمر مشخصه 1 ساعت ($\eta = 1$) در نظر گرفته شده است. همین‌طور با استفاده از تاریخچه‌ی سرویس مرکز داده، زمان سقوط، d_{Crash} را با پارامتر شکل، β ، 1.4 و عمر مشخصه، η ، 87600 ساعت توصیف می‌کنیم. به این دلیل که دیسکی که به اشتباه از آرایه جدا

DDF منجر به فقدان داده‌ی کل آرایه می‌شود، DF+LSE تنها یک یا چند نوار داده را مفقود می‌کند. این مشاهده نشان می‌دهد که شیوه‌ی الراث و پچت [۱۷][۱۵] که رخدادهای DF و DF+LSE را یکی فرض می‌کند (هر دو رخداد را به‌عنوان DDF در نظر می‌گیرد)، مقدار DL را به شدت دست بالا می‌گیرد.



شکل ۸: NOMDU و NOMDL برای سه دیسک مختلف و مقادیر گوناگون خطای انسانی برای آرایه RAID5(7+1).

۵-۴- مقایسه‌ی پیکربندی‌های گوناگون RAID با حجم منطقی مساوی

در این بخش قصد داریم به این سؤال پاسخ دهیم که آیا خطای انسانی می‌تواند مفروضات قبلی ما در مورد اتکاپذیری پیکربندی‌های گوناگون RAID تغییر دهد. با این هدف، NOMDU و NOMDL سه پیکربندی RAID5(3+1)، RAID5(7+1) و RAID1(1+1) را با فرض اینکه هر سه آرایه حجم منطقی^{۷۸} یکسانی دارند، مقایسه می‌کنیم.

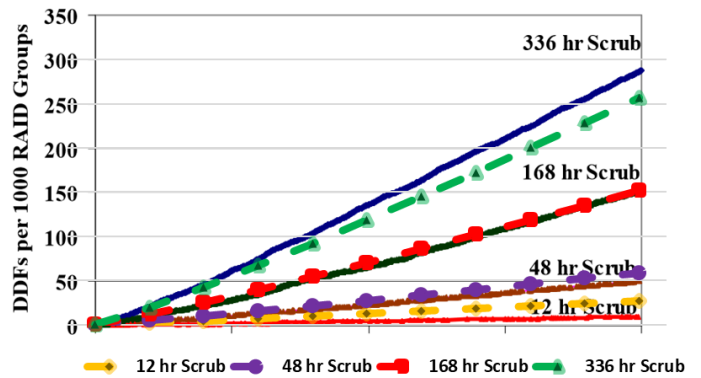
۵-۴-۱- به‌کارگیری مدل اتکاپذیری RAID5 برای RAID1

آرایه‌ی RAID1 با آینه‌سازی داده‌ی دیسک بر روی یک دیسک افزونه، پیاده می‌شود. بنابراین، این آرایه می‌تواند مانند یک سیستم با تحمل‌پذیری یک خرابی مدل شود. مشابه آرایه RAID5، رخداد DDF و DF+LSE منجر به فقدان داده می‌شود و رخداد خطای انسانی در جایگزینی دیسک خراب، آرایه را از دسترس خارج می‌کند. بنابراین از دیدگاه اتکاپذیری، می‌توان RAID1 را مانند یک آرایه‌ی RAID5 با دو دیسک (یک دیسک داده و یک دیسک افزونه) در نظر گرفت.

بنابراین، در نتایج فرض شده است که بازیابی فقدان داده امکان‌پذیر نمی‌باشد و NOMDU و NOMDL به ترتیب از (۶) و (۸) استخراج می‌شود.

۵-۲- اعتبار سنجی پیاده‌سازی مونت کارلو

برای اعتبارسنجی پیاده‌سازی مونت کارلو، DDF به دست آمده با صرف نظر از خطای انسانی را با DDF گزارش شده توسط الراث و پچت [۱۷][۱۵] مقایسه می‌کنیم (لازم به یادآوری است که هیچ‌یک از مطالعات پیشین اثر خطای انسانی را در نظر نگرفته‌اند). برای این مقایسه، آزمایش‌هایی با پیکربندی مشابه [۱۷][۱۵] راه اندازی شده است که در آن ۱۰۰۰ آرایه‌ی RAID5(7+1) شرکت دارند و رخدادهای ترکیبی DF+LSE و DF+DF همگی به‌عنوان DDF تلقی می‌شوند (این فرضی است اشتباه که [۱۷][۱۵] در شبیه‌سازی‌های خود داشته است). نتایج [۱۷][۱۵] با خطوط نقطه‌چین نشان داده شده است. همان‌طور که شکل ۷ نشان می‌دهد، خروجی پیاده‌سازی مونت کارلو برای مقاله برای η_{scrub} ۱۲، ۴۸ و ۱۶۸ ساعت کمی بزرگ‌تر از نتایج [۱۷][۱۵] است (به ترتیب ۵۶٪، ۱۳٪ و ۱٫۳٪). این در حالی است که برای η_{scrub} برابر ۳۳۶ ساعت [۱۷][۱۵] نتایج ۹٪ بزرگ‌تری تولید می‌کند. لازم به ذکر است که مقایسه خروجی مدل پیشنهادی با داده‌های میدانی در بخش مقدمه ارائه شده است.



شکل ۷: نتایج شبیه‌سازی مونت کارلو برای ده سال مأموریت ۱۰۰۰ آرایه‌ی RAID5(7+1) و مقایسه با [۱۷][۱۵] (خطوط نقطه‌چین مربوط به نتایج [۱۷][۱۵] است).

۵-۳- اثر خطای انسانی در آرایه‌های بی‌پشتیبان

شکل ۸ NOMDU و NOMDL را برای ۱۰۰۰ آرایه RAID5 (با استفاده از ماشین حالت ارائه شده در بخش مقدمه) نمایش می‌دهد. در این شکل مقادیر NOMDL ناشی از DDF و DF+LSE تفکیک شده و به ترتیب در زیرشکل‌های ب و پ نمایش داده شده است. شکل الف نشان می‌دهد که با افزایش احتمال خطای انسانی، HEP، با یک مرتبه بزرگی^{۷۷}، NOMDU نیز تقریباً با یک مرتبه بزرگی افزایش می‌یابد. در عین حال، HEP اثر کوچک‌تری بر NOMDL ناشی از DDF (شکل ب) و اثری جزئی بر NOMDL ناشی از DF+LSE دارد. در مجموع می‌توان گفت زمانی که برای مقادیر HEP کوچک‌تر از ۰٫۰۰۱، خطای انسانی تقریباً تأثیر بر NOMDL ندارد (صرف‌نظر از نوع دیسک مورد آزمایش). هرچند، برای مقادیر HEP ۰٫۰۱ و فراتر از آن، اثر خطای انسانی بر NOMDL بسیار چشمگیر است. مثلاً در دیسک A، افزایش HEP از ۰ به ۰٫۰۱ و ۰٫۰۱ به ۰٫۱، NOMDL ناشی از DDF را به ترتیب ۴٫۷ برابر و ۳۸ برابر می‌کند.

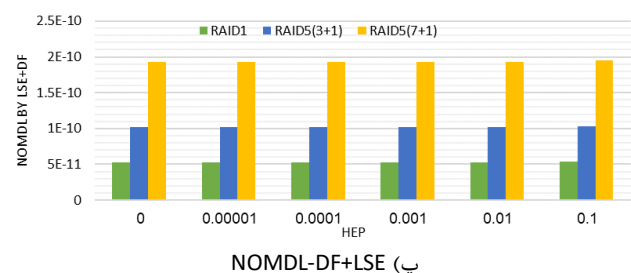
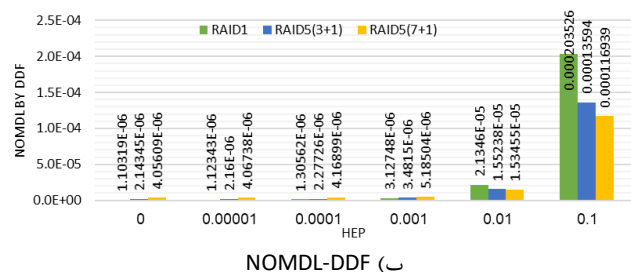
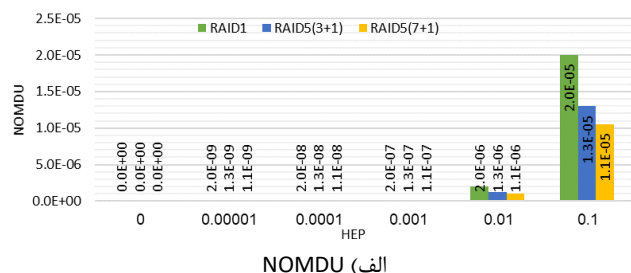
مشاهده‌ی مهم دیگر این است که NOMDL ناشی از LSE، پنج مرتبه بزرگی از NOMDL ناشی از DDF کوچک‌تر است. این در حالی است که نتایج شبیه‌سازی نشان می‌دهد LSE مسبب بیش از ۹۰٪ رخدادهای DL است. این مشاهده با تفاوت بزرگی فقدان داده در DDF و DF+LSE توضیح داده می‌شود. درحالی‌که رخداد

گیرند. جدول ۷ مدل‌های قبل را با مدل پیشنهادی برای ۱۰۰۰ آرایه‌ی RAID5 (7+1) و ۱۰ سال مأموریت سامانه مقایسه می‌کند. در این مقایسه فرض شده است که آرایه بی‌پشتیبان بوده و دیسک ذخیره‌ای ندارد احتمال خطای انسانی ۰,۰۰۱ است.

جدول ۷: مقایسه‌ی مدل‌های قبلی قابلیت اطمینان آرایه‌ی دیسک با مدل پیشنهادی برای ۱۰۰۰ آرایه‌ی RAID5(7+1) و ۱۰ سال مأموریت سامانه. برای خطای انسانی مقدار نوعی $HEP=0.0001$ در نظر گرفته شده است فرض شده است که آرایه، دیسک ذخیره ندارد. مابقی پارامترهای مورد استفاده در شبیه‌سازی در جدول ۱، جدول ۵ و جدول ۶ آورده شده است.

فقدان داده			عدم دسترس پذیری			مدل قابلیت اطمینان آرایه دیسک
DISK A	DISK B	DISK C	DISK A	DISK B	DISK C	
بایت مفقود شده در هر ترابایت			بایت خارج از دسترس در هر ساعت به ازای هر ترابایت			NOMDL/NOMDU (Proposed) 10-years
5567	20871	5276	113	79	118	
بایت مفقود شده در هر ترابایت			در نظر گرفته نشده			NOMDL (Greenan [22]) 10-years
4355	19374	4031	-	-	-	
تعداد رخداد DDF			در نظر گرفته نشده			DDF (Elerath [17],[15]) 10-years
169	35	1	-	-	-	
MTTDL بر حسب سال			در نظر گرفته نشده			MTTDL (Gibson [19]) 10-years
8	18	17	-	-	-	

همان‌طور که جدول ۷ نشان می‌دهد، تنها مدل پیشنهادی اثر خطای انسانی و DU ناشی از آن را در نظر می‌گیرد. به‌عنوان مثال، مدل پیشنهادی نشان می‌دهد که برای آرایه RAID5(7+1) دیسک A، ۵۵۶۷ بایت فقدان داده به ازای هر ترابایت داده در یک مأموریت ۱۰ ساله مورد انتظار است. نتایج همچنین نشان می‌دهد که برای آرایه‌ی RAID5(7+1) دیسک A، در هر ساعت ۱۱۳ بایت از ۱ ترابایت داده از دسترس خارج خواهد بود. NOMDL گزارش شده توسط گرینان [۲۲] اندکی از مدل پیشنهادی پایین‌تر است، چرا که گرینان اثر DL ناشی از خطای انسانی را در نظر نمی‌گیرد. DDF گزارش شده توسط الراث [۱۷] نشان می‌دهد که در ۱۰۰۰ آرایه‌ی RAID5(7+1) از دیسک A، ۱۶۹ رخداد DDF در یک مأموریت ۱۰ ساله مورد انتظار است. هر چند، DDF گزارش شده توسط الراث هیچ اطلاعاتی در مورد اینکه چه تعداد از این DDF ناشی از $DF+DF$ (که منجر به فقدان کل داده‌ی آرایه می‌شود) و چه تعداد ناشی از $DF+LSE$ (که منجر به فقدان یک یا چند نوار داده می‌شود) بوده است، ندارد. علاوه بر این، DDF تابعی است از تعداد آرایه‌های مورد آزمایش (در اینجا ۱۰۰۰) در حالی که NOMDL و NOMDU کاملاً مستقل از تعداد آرایه است. در آخر، MTTDL گزارش شده توسط گیبسون [۱۹]، MTTDL برابر ۸ سال برای ۱۰۰۰ آرایه‌ی RAID5(7+1) گزارش می‌کند. این معیار هیچ اطلاعاتی در مورد تعداد خرابی مورد انتظار، بزرگی فقدان داده، و اثر خطای انسانی ندارد. در نهایت، به‌منظور بهتر نشان دادن کاستی‌های مدل‌های پیشین نسبت به مدل پیشنهادی در نادیده گرفتن اثر خطای انسانی، نتایج مدل پیشنهادی و مطالعات پیشین را با داده‌های میدانی استخراج شده از سامانه‌های رده-بالای یک شرکت پیشرو (که در اینجا آن را CorpX می‌نامیم) مقایسه می‌کنیم (جدول ۸). مطالعات میدانی بر روی خرابی چهار نسل از سامانه‌های CorpX نشان می‌دهد که ۱۵٪ از کل فقدان داده و عدم دسترس‌پذیری ناشی از خطای انسانی است.



شکل ۹: NOMDL و NOMDU برای آرایه‌های RAID مختلف با در نظر گرفتن حجم منطقی مساوی. آزمایش برای ۲۱۰۰۰ آرایه RAID1، ۷۰۰۰ آرایه RAID5(3+1) و ۳۰۰۰ آرایه‌ی RAID5(7+1) انجام شده است.

شکل ۹ مقادیر NOMDL و NOMDU را برای سه پیکربندی با اندازه‌ی منطقی ۲۱۰۰۰ دیسک نشان می‌دهد. با مقایسه‌ی نتایج با در نظر گرفتن خطای انسانی صفر (صرف‌نظر از خطای انسانی) درمی‌یابیم که RAID1 کمترین NOMDL را دارد و NOMDL آرایه RAID5(7+1) از RAID5(3+1) بالاتر است. این نتیجه، مفروضات قبلی در مورد آرایه‌های RAID که افزونگی بیشتر به معنای اتکالپذیری بیشتر است را تأیید می‌کند. هر چند، با در نظر گرفتن اثر خطای انسانی، مشاهده می‌شود که NOMDU آرایه RAID1 از RAID5 بیشتر است و آرایه‌ی RAID5(7+1) کمترین NOMDU را دارد. این مشاهده با مقدار بالاتر ERF^{9} آرایه‌ی RAID1 ($ERF=2$) نسبت به آرایه RAID5(3+1) ($ERF=1.33$) و آرایه RAID5(7+1) ($ERF=1.14$) توضیح داده می‌شود. زمانی که یک آرایه ERF بالاتری دارد، برای رسیدن به یک حجم منطقی مشخص، باید از تعداد بیشتری دیسک استفاده کند که این امر احتمال خرابی دیسک و متعاقباً خطای انسانی را بالا می‌برد. مشاهده‌ی دیگر این است که با افزایش HEP به ۰,۰۰۱ و فراتر از آن، NOMDL ناشی از DDF در آرایه RAID1 از RAID5(7+1) و RAID5(3+1) بیشتر می‌شود. این مشاهده به این معناست که در محیط‌هایی با احتمال رخداد خطای انسانی بالا، آرایه RAID1 نه تنها دسترس‌پذیری کمتر از RAID5 دارد، بلکه قابلیت اطمینان آن نیز کمتر است.

۵-۵- مقایسه با مدل‌های قبلی و داده‌های میدانی

در این بخش، نتایج مدل پیشنهادی را با مدل‌های قبلی (برای آرایه‌ی RAID5) مقایسه می‌کنیم. مدل‌های قبلی مورد مقایسه شامل MTTDL سنتی ارائه شده توسط گیبسون^۸ [۱۹]، NOMDL ارائه شده توسط گرینان^{۸۱} [۲۲]، و DDF ارائه شده توسط الراث و پچت [۱۷] است، که هیچ‌یک اثر خطای انسانی را در نظر نمی‌گیرند.

که صرف نظر از اثر خطای انسانی می‌تواند تا چند درجه بزرگی منجر به ناچیزشماری عدم دسترس‌پذیری و فقدان داده شود. این مطالعه همچنین نشان داد که با در نظر گرفتن خطای انسانی، انتخاب بهترین پیکربندی سامانه از دیدگاه اتکاپذیری نیاز به بازنگری دارد.

۷- مراجع

- [1] A. Avizienis, J. Laprie, B. Randell, and C. Landwehr, "Basic concepts and taxonomy of dependable and secure computing." *IEEE transactions on dependable and secure computing*, vol. 1, pp. 11-33, 2004.
- [2] L. N. Bairavasundaram, A. C. Arpaci-Dusseau, R. H. Arpaci-Dusseau, G. R. Goodson, and B. Schroeder, "An analysis of data corruption in the storage stack." *ACM Transactions on Storage (TOS)*, vol. 4, pp. 8:1-8:28, 2008.
- [3] L. N. Bairavasundaram, G. R. Goodson, S. Pasupathy, and J. Schindler, "An analysis of latent sector errors in disk drives." *ACM SIGMETRICS international conference on Measurement and modeling of computer systems*, vol. 35, pp. 289-300, 2007.
- [4] M. Balakrishnan, A. Kadav, V. Prabhakaran, and D. Malkhi, "Differential raid: Rethinking raid for ssd reliability." *ACM Transactions on Storage (TOS)*, vol. 6, no. 4, pp. 1-10, 2010.
- [5] M. Blaum, J. Brady, J. Bruck, and J. Menon, "EVENODD: An efficient scheme for tolerating double disk failures in RAID architectures." *IEEE Transactions on computers*, vol. 44, pp. 192-202, 1995.
- [6] M. Blaum, J. L. Hafner, and S. Hertzler, "Partial-MDS Codes and Their Application to RAID Type of Architectures." *IEEE Transactions on Information Theory*, vol. 59, pp. 4510-4519, 2013.
- [7] F. Chandler, I. Heard, M. Presley, A. Burg, E. Midden, and P. Mongan, NASA Human Error Analysis. Retrieved from www.hq.nasa.gov/office/codeq/rm/docs/hra.pdf, Sep 2010
- [8] P. L. Clemens, Human Factors and Operator Errors. *Jacobs Sverdrup*, 2002.
- [9] U. S. Commission, Reactor Safety Study: An Assessment of Accident Risks in US Commercial Nuclear Power Plants. *International Nuclear Information System (INIS)*, vol 2, 1975.
- [10] B. S. Dhillon, "System reliability evaluation models with human error." *IEEE Transactions on Reliability*, vol 32, pp. 47-59, 1983.
- [11] A. Dholakia, E. Eleftheriou, X. Y. Hu, I. Iliadis, J. Menon, and K. K. Rao, "A New Intra-disk Redundancy Scheme for High-reliability RAID Storage Systems in the Presence of Unrecoverable Errors." *ACM Transactions on Storage (TOS)*, vol 4, pp. 1-42, 2008.
- [12] B. Dufraigne, and R. Eriksson, *IBM XIV Storage System Architecture, Implementation, and Usage*. Tech. rep., IBM. Retrieved from <http://www.redbooks.ibm.com/abstracts/sg247659.html>, 2011
- [13] J. Elerath, "Reliability Model and Assessment of Redundant Arrays of Inexpensive Disks (RAID) Incorporating Latent Defects and Non-Homogeneous Poisson Process Events." Ph.D. dissertation, 2007.
- [14] J. Elerath, "A simple equation for estimating reliability of an N+1 redundant array of independent disks (RAID)." *Dependable Systems and Networks (DSN), International Conference on*, pp. 484-493, 2009.
- [15] J. Elerath, and M. Pecht, "Enhanced reliability modeling of raid storage systems." *Dependable Systems and Networks (DSN), International Conference on*, pp. 175-184, 2007.
- [16] J. Elerath, and J. Schindler, "Beyond MTDL: A closed-form RAID 6 reliability equation." *ACM Transactions on Storage (TOS)*, vol 10, no 7, pp. 256-279, 2014.
- [17] J. Elerath, and M. Pecht, "A highly accurate method for assessing reliability of redundant arrays of inexpensive disks (RAID)." *IEEE Transactions on Computers*, vol 58, pp. 289-299, 2009.
- [18] S. Forrest, S. Hofmeyr, A. Somayaji, and T. A. Longstaff, "A Sense of Self" Unix Processes. *Security and Privacy, IEEE Symposium on*, pp. 120-128. 1996.

همان‌طور که جدول ۸ نشان می‌دهد، پیش‌بینی گرینان [۲۲] و الراث [۱۵][۱۷] از فقدان داده پایین‌تر از مدل پیشنهادی است، چرا که این مطالعات اثر DL ناشی از خطای انسانی را در نظر نمی‌گیرند. اما کاستی بسیار مهم‌تر مطالعات پیشین در صرف نظر از عدم دسترس‌پذیری ناشی از خطای انسانی است. درحالی‌که داده‌های میدانی گزارش می‌کند که ۱۵٪ از کل عدم دسترس‌پذیری سامانه ناشی از خطای انسانی است، مطالعات پیشین اثر خطای انسانی بر عدم دسترس‌پذیری را به هیچ عنوان در نظر نگرفته‌اند. مقایسه‌ی نتایج مدل پیشنهادی با نتایج میدانی نشان می‌دهد زمانی که $HEP=0.001$ و $\eta_{crash} = 10h$ در نظر گرفته می‌شود، خروجی مدل به نتایج میدانی نزدیک است. این نتیجه رضایت‌بخش است، چرا که CorpX هم متوسط احتمال خطای انسانی را در همین بازه گزارش کرده است (۰.۰۲٪ تا ۰.۱٪). این نتایج میدانی برای RAID5(7+1) گزارش شده است و نتایج سایر پیکربندی‌ها در دسترس نیست.

آمار میدانی DeepSpar [۶۳] نیز فقدان داده را به تفکیک ریشه‌های آن گزارش می‌کند و نشان می‌دهد که ۱۲٪ فقدان داده در زیر سامانه‌ی دیسک بر اثر خطای انسانی رخ داده است. این آمار نیز به پیش‌بینی مدل پیشنهادی بسیار نزدیک است. با در نظر گرفتن $HEP=0.001$ ، مدل پیشنهادی ۱۲.۸٪ از کل فقدان داده را ناشی از خطای انسانی گزارش می‌کند. نتیجه‌ی مقایسه‌ی مدل پیشنهادی با هر دو نتایج میدانی CorpX و DeepSpar نشان می‌دهد که دقیق‌ترین خروجی مدل، با در نظر گرفتن $HEP=0.001$ تولید می‌شود. این مشاهده همچنین با ارزیابی قبلی ما از احتمال خطای انسانی به دست آمده از مرکز داده‌ی دانشگاه صنعتی شریف و گزارش‌های میدانی پیشین، مطابقت دارد.

جدول ۸: مقایسه‌ی پیش‌بینی مدل پیشنهادی و مدل‌های قبلی با داده‌های میدانی CorpX

مدل	NOMDU	NOMDL
داده‌های میدانی	15% of total DU	0.00164
مدل پیشنهادی ($HEP = 0.001$)	1.61E-08	0.00158
مدل پیشنهادی ($HEP = 0.0001$)	9.96E-10	0.00141
مدل پیشنهادی ($HEP = 0.01$)	1.58E-07	0.00316
مدل پیشنهادی ($HEP = 0.1$)	1.82E-06	0.0166
مدل گرینان و الراث با در نظر گرفتن خرابی دیسک و خطای قطاع نهفته با توزیع ویبول ($HEP = 0.0$)	0	0.00140
روش سنتی با در نظر گرفتن خرابی دیسک با توزیع نمایی	0	0.00145

۶- نتیجه‌گیری

در این مقاله قابلیت اطمینان و دسترس‌پذیری زیرسامانه‌ی دیسک با در نظر گرفتن خطای انسانی ارزیابی شد. در این پژوهش تلاش کردیم تا به جای مدل‌های تقریبی و شبیه‌سازها، از پیاده‌سازی سامانه‌ی واقعی استفاده کنیم. ارزیابی عدم دسترس‌پذیری و فقدان داده تماماً با استفاده از تزریق اشکال آماری انجام شد که دقتی به مراتب بیشتر از مدل‌های مارکوف و تحلیل‌های احتمالی دارد. در این مقاله معیار جدیدی برای ارزیابی دسترس‌پذیری سامانه‌های ذخیره‌سازی داده نیز ارائه شده است. از نوآوری‌های این مقاله همچنین می‌توان به مطالعه‌ی اثر خطای انسانی اشاره کرد. در بخشی از این مقاله تلاش کردیم تا اثر خطای انسانی در زیرسامانه‌ی دیسک سخت را بر عدم دسترس‌پذیری و فقدان داده ارزیابی کنیم. این مطالعه نشان داد

- [39] M. Li, and P. P. Lee, "Stair codes: A general family of erasure codes for tolerating device and sector failures." *ACM Transactions on Storage (TOS)*, vol. 10, no. 14, pp. 719-740, 2014.
- [40] M. Li, and J. Shu, "Preventing silent data corruptions from propagating during data reconstruction." *IEEE Transactions on Computers*, vol. 59, pp. 1611-1624, 2010.
- [41] M. Li, J. Shu, and W. Zheng, "GRID codes: Strip-based erasure codes with high fault tolerance for storage systems." *ACM Transactions on Storage (TOS)*, vol. 4, pp. 15:1-15:22, 2009.
- [42] X. Li, M. Lillibridge, and M. Uysal, "Reliability analysis of deduplicated and erasure-coded storage." *ACM SIGMETRICS Performance Evaluation Review*, 38, 4-9, 2011.
- [43] Y. Li, P. P. Lee, and J. C. Lui, "Analysis of Reliability Dynamics of SSD RAID." *IEEE Transactions on Computers*, vol. 65, pp. 1131-1144, 2016.
- [44] D. Meister, "The nature of human error." *Global Telecommunications Conference and Exhibition/Communications Technology for the 1990s and Beyond (GLOBECOM)*, pp. 783-786, 1989.
- [45] N. Mi, A. Riska, E. Smirni, and E. Riedel, "Enhancing data availability in disk drives through background activities." *Dependable Systems and Networks (DSN), International Conference on*, pp. 492-501, 2008.
- [46] S. Moon, and A. L. Reddy, "Does RAID Improve Lifetime of SSD Arrays?" *ACM Transactions on Storage (TOS)*, vol. 12, no. 11, pp. 1217-1241, 2016.
- [47] B. Mullins, H. Asadi, M. B. Tahoori, D. Kaeli, K. Granlund, R. Bauer, and S. Romano, "Case Study: Soft Error Rate Analysis in Storage Systems." *VLSI Test Symposium*, pp. 256-264, 2007.
- [48] W. B. Nelson, *Applied life data analysis*, vol. 577. John Wiley and Sons, 2005.
- [49] D. Oppenheimer, "The Importance of Understanding Distributed System Configuration." *Human Factors in Computer Systems workshop*, pp. 1-3, 2003.
- [50] A. Oprea, and A. Juels, "A clean-slate look at disk scrubbing." *USENIX conference on File and storage technologies (FAST)*, pp. 57-70, 2010.
- [51] D. A. Patterson, "A Simple Way to Estimate the Cost of Downtime." *USENIX System Administration Conference (LISA)*, 2, pp. 185-188, 2002.
- [52] D. A. Patterson, G. Gibson, and R. H. Katz, "A case for redundant arrays of inexpensive disks (RAID)." *SIGMOD international conference on Management of data*, 17, pp. 109-116. Chicago: ACM, 1988.
- [53] E. Pinheiro, and L. A. Barroso, "Failure Trends in a Large Disk Drive Population." *USENIX Conference on File and Storage Technologies (FAST)*, pp. 17-28, 2007.
- [54] J. S. Plank, and M. Blaum, "Sector-Disk (SD) Erasure Codes for Mixed Failure Modes in RAID Systems." *ACM Transactions on Storage (TOS)*, vol. 10, no. 4, pp. 660-689, 2014.
- [55] V. Prabhakaran, L. N. Bairavasundaram, N. Agrawal, H. S. Gunawi, A. C. Arpaci-Dusseau, and R. H. Arpaci-Dusseau, "IRON File Systems", vol. 39, 2005.
- [56] E. W. Rozier, W. Belluomini, V. Deenadhayalan, J. Hafner, K. K. Rao, and P. Zhou, "Evaluating the impact of undetected disk errors in raid systems." *Dependable Systems and Networks (DSN), International Conference on*, pp. 83-92, 2009.
- [57] L. Rui, L. Chuan, Z. Yingzhi, and Z. Dong, "The preliminary study on the human-factor evaluation system for maintainability design." *Intelligent Human-Machine Systems and Cybernetics (IHMSC), International Conference on*, vol. 2, pp. 107-112, 2009.
- [58] B. Schroeder, S. Damouras, and P. Gill, "Understanding Latent Sector Errors and How to Protect Against Them." *ACM Transaction on Storage (TOS)*, vol. 6, no. 3, pp. 9:1-9:23, 2010.
- [59] T. J. Schwarz, Q. Xin, E. L. Miller, D. D. Long, A. Hospodor, and S. Ng, "Disk scrubbing in large archival storage systems." *Modeling*
- [19] G. A. Gibson, "Redundant Disk Arrays: Reliable, Parallel Secondary Storage." Ph.D. dissertation, Univeristy of California, Berkeley, 1990.
- [20] W. H. Gibson, B. Hickling, and B. Kirwan, *Feasibility Study Into the Collection of Human Error Probability Data*. EUROCONTROL. Retrieved from <https://www.eurocontrol.int/feasibility-study-collection-human-error-probability-data>, 2006
- [21] K. M. Greenan, D. D. Long, E. L. Miller, and A. Wildani, "Building flexible, fault-tolerant flash-based storage systems." *Proceedings of the 5th Workshop on Hot Topics in System Dependability (HotDep)*. Yokohama, 2009.
- [22] K. M. Greenan, J. S. Plank, and J. J. Wylie, "Mean Time to Meaningless: MTTDL, Markov Models, and Storage System Reliability." *USENIX conference on Hot topics in storage and file systems (HotStorage)*, pp. 1-5, 2010.
- [23] S. K. Hari, S. V. Adve, and H. Naeimi, "Low-Cost Program-Level Detectors for Reducing Silent Data Corruptions." *Dependable Systems and Networks (DSN), Annual IEEE/IFIP International Conference on*, pp. 1-12, 2012.
- [24] E. Haubert, "Threats of Human Error in a High-Performance Storage System: Problem Statement and Case Study," *CoRR, abs/cs/0412074*, 1-13. Retrieved from <http://arxiv.org/abs/cs/0412074>, 2004
- [25] I. Iliadis, R. Haas, X.-Y. Hu, and E. Eleftheriou, "Disk scrubbing versus intra-disk redundancy for high-reliability raid storage systems." *ACM SIGMETRICS Performance Evaluation Review*, 36, pp. 241-252, 2008.
- [26] G. Jacques-Silva, Z. Kalbarczyk, B. Gedik, H. Andrade, K.-L. Wu, and R. K. Iyer, "Modeling Stream Processing Applications for Dependability Evaluation." *Dependable Systems and Networks (DSN), Annual IEEE/IFIP International Conference on*, pp. 430-441, 2011.
- [27] W. Jiang, C. Hu, Y. Zhou, and A. Kanevsky, "Are disks the dominant contributor for storage failures?: A comprehensive study of storage subsystem failure characteristics." *ACM Transactions on Storage (TOS)*, vol. 4, pp. 1-25, 2008.
- [28] K. Keeton, and A. Merchant, "A framework for evaluating storage system dependability." *Dependable Systems and Networks (DSN), International Conference on*, pp. 877-886, 2004.
- [29] K. Keeton, C. A. Santos, D. Beyer, J. S. Chase, and J. Wilkes, "Designing for Disasters." *USENIX Conference on File and Storage Technologies (FAST)*, vol. 4, pp. 59-62, 2004.
- [30] J. O. Kephart, and D. M. Chess, "The Vision of Autonomic Computing." *Computer*, vol. 36, pp. 41-50, 2003.
- [31] J. Kim, J. Lee, J. Choi, D. Lee, and S. H. Noh, "Improving SSD reliability with RAID via elastic striping and anywhere parity." *Dependable Systems and Networks (DSN)*, pp. 1-12. Budapest, 2013.
- [32] S. Kim, "Area-efficient error protection for caches." *Design, Automation and Test in Europe. DATE'06. Proceedings*, 1, pp. 1-6, 2006.
- [33] S. Kim, and A. K. Somani, "Area efficient architectures for information integrity in cache memories." *ACM SIGARCH Computer Architecture News*, vol. 27, pp. 246-255, 1999.
- [34] M. Kishani, and H. Asadi, "Modeling Impact of Human Errors on the Data Unavailability and Data Loss of Storage Systems." *IEEE Transactions on Reliability (TR)*, vol. 67, no. 3, pp. 1111-1127, 2018.
- [35] M. Kishani, R. Eftekhari, and H. Asadi, "Evaluating Impact of Human Errors on the Availability of Data Storage Systems." *Design, Automation and Test in Europe Conference (DATE)*, pp. 314-317, 2017.
- [36] F. Lees, "Lees' Loss prevention in the process industries: Hazard identification, assessment and control." Butterworth-Heinemann, 2017.
- [37] N. G. Leveson, "Model-based analysis of socio-technical risk", 2004.
- [38] R. Leveugle, A. Calvez, P. Maistri, and P. Vanhauwaert, "Statistical Fault Injection: Quantified Error and Confidence." *Conference on Design, Automation and Test in Europe (DATE)*, pp. 502-506, 2009.

بودند. ایشان همچنین در سال ۱۳۸۹ در تیم Memocode پژوهشگاه دانش‌های بنیادی (IPM) عضویت داشتند. در سال ۱۳۹۵ ایشان به‌عنوان دستیار پژوهشی در Chinese University of Hong Kong (CUHK) مشغول به فعالیت بودند. همچنین در سال ۱۳۹۶ ایشان به‌عنوان دانشیار پژوهشی در Hong Kong Polytechnic University (PolyU) فعالیت داشتند.

آدرس پست الکترونیکی ایشان عبارت است:

mostafa.kishani@sharif.edu

حسین اسدی استادتمام دانشکده مهندسی کامپیوتر دانشگاه صنعتی شریف است. ایشان از سال ۱۳۸۸ تا سال ۱۳۹۳ به‌عنوان استادیار و در ادامه تا دی‌ماه ۱۳۹۸ به‌عنوان دانشیار و از آن تاریخ تاکنون به‌عنوان استادتمام در دانشکده مهندسی کامپیوتر دانشگاه صنعتی شریف مشغول به فعالیت می‌باشد. ایشان مدیر



و مؤسس آزمایشگاه پژوهشی «ذخیره‌سازی، پردازش و شبکه‌های داده» (DSN) بوده و در طی یک دهه‌ی اخیر بیش از ۶۰ دانشجوی کارشناسی، کارشناسی ارشد و دکترا پایان‌نامه خود را در این آزمایشگاه انجام داده است. در حال حاضر نیز بیش از ۱۵ دانشجوی کارشناسی، کارشناسی ارشد و دکترا در این آزمایشگاه در حال انجام پروژه خود می‌باشند. در سال ۱۳۸۹ به‌عنوان استاد نمونه دانشکده مهندسی کامپیوتر برگزیده شد. قبل از شروع همکاری در این دانشگاه در شرکت EMC2 به‌عنوان محقق و مهندس ارشد در ایالت ماساچوست آمریکا به مدت سه سال مشغول به کار بود. همچنین، ایشان حدود ۱۰۰ مقاله در مجلات و کنفرانس‌های معتبر بین‌المللی داشته و چندین سال داور مجلات معتبر انجمن IEEE می‌باشد. در سال ۲۰۱۴ نیز به‌عنوان دبیر مهمان مجله IEEE Transactions on Computers خدمت نموده است. در سال ۲۰۱۵ به‌عنوان دبیر علمی کنفرانس بین‌المللی CADs انتخاب شده و همچنین در تحریریه چندین مجله داخلی و خارجی از جمله Microelectronics Reliability فعالیت نموده است. در سال ۲۰۱۵ نیز اولین شرکت دانش‌بنیان تولیدکننده سامانه‌های ذخیره‌سازی داده (شرکت پردازش و ذخیره‌سازی سریع داده) را در ایران و غرب آسیا تأسیس نمود. این شرکت در حال حاضر با بیش از ۵۰ نیروی حرفه‌ای تمام‌وقت، بیش از چهار رده محصول تولید و به بازار ارائه نموده است. از سال ۲۰۱۵ تاکنون از میان بیش از ۴۵۰ عضو هیئت‌علمی دانشگاه صنعتی شریف، ایشان به‌صورت پیوسته جزو ۱۰ نفر اول اعضای هیئت‌علمی در رتبه‌بندی معاونت پژوهش و فناوری دانشگاه قرار داشته است. در چهار سال اخیر نیز، جوایز مختلفی از جمله جایزه «پژوهشگر برتر»، «فناور برتر»، «موسسه پژوهشی برتر» و «آزمایشگاه پژوهشی برتر» را در سطح دانشکده و دانشگاه و همچنین جایزه بهترین مقاله کنفرانس بین‌المللی DATE2019 را کسب نموده است. زمینه تخصصی ایشان سامانه‌های ذخیره‌سازی داده، سامانه‌های اتکاپذیر، پردازش قابل بازبینی، دیسک‌های حالت جامد و سیستم‌های عامل بوده و عضو ارشد (Senior Member) انجمن IEEE نیز می‌باشد.

آدرس پست الکترونیکی ایشان عبارت است:

asadi@sharif.edu

Analysis, and Simulation of Computer and Telecommunications Systems (MASCOTS), pp. 409-418, 2004.

- [60] S. Z. Shazli, M. Abdul-Aziz, M. B. Tahoori, and D. R. Kaeli, "A field analysis of system-level effects of soft errors occurring in microprocessors used in information systems." *International Test Conference (ITC)*, pp. 1-10. 2008.
- [61] I. Sideris, and K. Pekmezci, "Cost Effective Protection Techniques for TCAM Memory Arrays." *IEEE Transactions on Computers*, vol 61, pp. 1778-1788, 2012.
- [62] C. W. Slayman, "Cache and Memory Error Detection, Correction, and Reduction Techniques for Terrestrial Servers and Workstations." *IEEE Transactions on Device and Materials Reliability*, vol. 5, pp. 397-404, 2005.
- [63] D. M. Smith, and M. L. Williams, *Data Loss and Hard Drive Failure: Understanding the Causes and Costs*, 2017.
- [64] A. D. Swain, "Human Reliability Analysis: Need, Status, Trends and Limitations." *Reliability Engineering and System Safety*, vol. 29, 301-313, 1990.
- [65] A. D. Swain, and H. E. Guttmann, "Handbook of Human-Reliability Analysis with Emphasis on Nuclear Power Plant Applications. Final Report." Tech. rep., Sandia National Labs., Albuquerque, NM (USA), 1983.
- [66] T. Tsai, N. Theera-Ampornpunt, and S. Bagchi, "A Study of Soft Error Consequences in Hard Disk Drives." *Dependable Systems and Networks (DSN), Annual IEEE/IFIP International Conference on*, pp. 1-8. 2012.
- [67] K. V. Vishwanath, and N. Nagappan, "Characterizing Cloud Computing Hardware Reliability." *ACM Symposium on Cloud Computing*, pp. 193-204, 2010.
- [68] S. Xu, R. Li, P. Lee, Y. Zhu, L. Xiang, Y. Xu, and J. Lui, "Single Disk Failure Recovery for X-code-based Parallel Storage Systems." *IEEE Transactions on Computers*, vol. 63, no. 4, pp. 995-1007, 2013.
- [69] J. Yang, and F. Sun, "A comprehensive review of hard-disk drive reliability." *Reliability and Maintainability Symposium, 1999. Proceedings. Annual*, pp. 403-409, 1999.
- [70] Y. Zhu, P. P. Lee, L. Xiang, Y. Xu, and L. Gao, "A Cost-based Heterogeneous Recovery Scheme for Distributed Storage Systems with RAID-6 Codes." *Dependable Systems and Networks (DSN), Annual IEEE/IFIP International Conference on*, pp. 1-12, 2012.
- [71] SAB-SE Data Storage Systems. <http://hpdss.com/En/SAB-SE.html>, 2020
- [72] HPDS Corporation. <http://hpdss.com/En/index.html>, 2020

مصطفی کیشانی کارشناسی خود را در سال ۱۳۸۷ در رشته مهندسی کامپیوتر از دانشگاه فردوسی مشهد، کارشناسی ارشد را در سال ۱۳۸۹ در رشته مهندسی کامپیوتر از دانشگاه صنعتی امیرکبیر، و دکتری را در سال ۱۳۹۷ در رشته مهندسی کامپیوتر از دانشگاه صنعتی شریف اخذ نمودند. ایشان در حال حاضر پژوهشگر فوق دکتری در آزمایشگاه پژوهشی «ذخیره‌سازی، پردازش و شبکه‌های داده» (DSN) در دانشگاه صنعتی شریف است. ایشان از سال ۱۳۸۹ تا ۱۳۹۱ به‌عنوان مهندس سخت‌افزار در پژوهشکده سامانه‌های ماهواره سازمان فضایی ایران مشغول به کار



^۷ Back-End (BE) Logic

^۸ Disk Scrubbing

^۹ Redundant Array of Independent Disks

^{۱۰} Human Error

^{۱۱} Data Unavailability

^{۱۲} Data Loss

^۱ Data Storage System (DSS)

^۲ Dependability

^۳ Global Memory (GM)

^۴ Module

^۵ Dynamic Random Access Memory

^۶ Front-End (FE) Logic

۱۳ Wrong Disk Replacement
 ۱۴ Monte Carlo
 ۱۵ Normalized Magnitude of Data Unavailability (NOMDU)
 ۱۶ Rack
 ۱۷ Instant Copy
 ۱۸ Remote Mirroring
 ۱۹ Logical Unit Number (LUN) Masking
 ۲۰ SCSI
 ۲۱ Dual Initiator
 ۲۲ Snapshot
 ۲۳ Statistical Fault Injection
 ۲۴ Leveugle
 ۲۵ Cut-Off Point
 ۲۶ Check Pointing
 ۲۷ Data Reconstruction
 ۲۸ Weibull
 ۲۹ Latent Sector Error
 ۳۰ Elerath
 ۳۱ Schindler
 ۳۲ Characteristic Life
 ۳۳ Location Parameter
 ۳۴ Shape Parameter
 ۳۵ Serial AT Attachment
 ۳۶ Safety-Critical
 ۳۷ Double Disk Failure
 ۳۸ Autonomic Computing
 ۳۹ Forgiving Design
 ۴۰ Non-benign
 ۴۱ Human Reliability Assessment (HRA)
 ۴۲ Human Error Probability (hep)
 ۴۳ Internal Error Station
 ۴۴ Mars Exploration Rover
 ۴۵ Terminal Radar Approach Control
 ۴۶ Airborne Separation Assistance System
 ۴۷ Checkoff
 ۴۸ Mean Time to Data Loss
 ۴۹ Double Disk Failure

۵۰ Magnitude of Data Loss
 ۵۱ Normalized Magnitude of Data Loss
 ۵۲ Temporal Locality
 ۵۳ Spatial Locality
 ۵۴ Markov Models
 ۵۵ Logical Size of Unavailable Data
 ۵۶ Unavailability Duration
 ۵۷ Total Logical Storage Size
 ۵۸ Mission Time
 ۵۹ Logical Size of Lost Data
 ۶۰ Recovery Time
 ۶۱ Exposed
 ۶۲ Operational
 ۶۳ Non-Survivable
 ۶۴ Normalized Magnitude of Data Loss
 ۶۵ Survivable
 ۶۶ Pecht
 ۶۷ Overestimation
 ۶۸ در اینجا می‌توانیم یک محدودیت مدل مارکوف نسبت به شبیه‌سازی مونت کارلو را بازگو کنیم: مدل‌های مارکوف، به دلیل بی‌حافظه بودن، نمی‌توانند تعداد رخداد LSE را نگه دارند، و در نتیجه نمی‌توانند تخمین دقیقی از زمان بازیابی خرابی یا بزرگی فقدان داده داشته باشند. این محدودیت مدل مارکوف ما را مجبور می‌کند که مفروضاتی غیر واقعی در مدل اعمال کنیم. مثلاً فرض کنیم تنها یک سکتور به LSE آلوده شده است.
 ۶۹ Excessive Block Reallocation
 ۷۰ این مورد نیز نمی‌تواند به درستی توسط مدل مارکوف ارزیابی شود. چرا که در مدل مارکوف به دلیل بی‌حافظه بودن نمی‌توان فهمید چه تعداد از دیسک‌ها آلوده به LSE است.
 ۷۱ Uniform
 ۷۲ Minimum
 ۷۳ Right-Skewed
 ۷۴ Sharif University of Technology
 ۷۵ Source Code
 ۷۶ <http://dsn.ce.sharif.edu/>
 ۷۷ Order of Magnitude
 ۷۸ Logical (Usable) Capacity
 ۷۹ Effective Replication Factor
 ۸۰ Gibson
 ۸۱ Greenan

Investigation of Human-Error Impact on Dependability of Data Storage Systems

Mostafa Kishani¹, Hossein Asadi²

^{1,2} Department of Computer Engineering, Sharif University of Technology, Tehran, Iran

Abstract

Despite using automatic failure recovery mechanisms, human error in service and maintenance of datacenters is inevitable. Human error in disk subsystem is one of the most common causes of data unavailability and data loss, due to the large population of disk drives in datacenters. In this paper, we investigate the impact of wrong disk replacement on data unavailability and data loss in storage systems. To this end, we first analyze the consequences of wrong disk replacement in the disk array. Afterwards, we conduct Monte-Carlo simulations to evaluate data unavailability and data loss. In this framework A) different array configurations are investigated, and B) a new metric for data unavailability of storage systems is proposed. This new metric is independent of storage size and can project the extent of data unavailability.

Keywords: Data Storage System; Availability; Reliability; Human Error; Disk Array; Erasure Codes; Error Detection and Correction Codes; Statistical Fault Injection; Monte-Carlo Simulation